

บทที่ 3

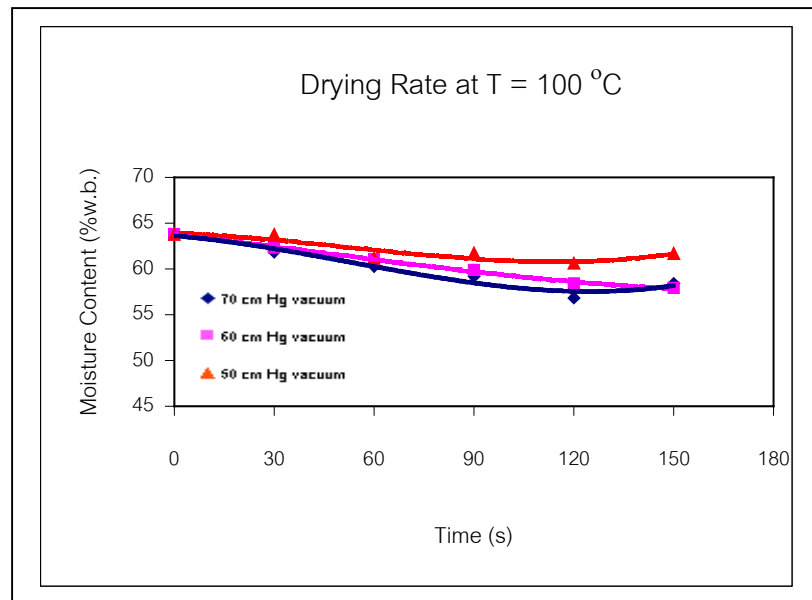
ผลการทดลอง

การศึกษาผลการทดสอบของอุณหภูมิน้ำมัน (100, 120, 140 องศาเซลเซียส) และความดัน (50, 60, 70 เซนติเมตรปดาทสุญญาการ) ต่ออัตราการระเหยของน้ำ การดูดซึมน้ำมันของผลิตภัณฑ์เต้าหู้ปลา และคุณภาพของน้ำมัน เปรียบเทียบผลิตภัณฑ์เต้าหู้ปลาและน้ำมันที่ผ่านการทดสอบภายใต้สภาวะสุญญาการ (120 องศาเซลเซียส ความดัน 60 เซนติเมตรปดาทสุญญาการ) กับ สภาวะบรรยายการ (165 องศาเซลเซียส ความดันบรรยายการ)

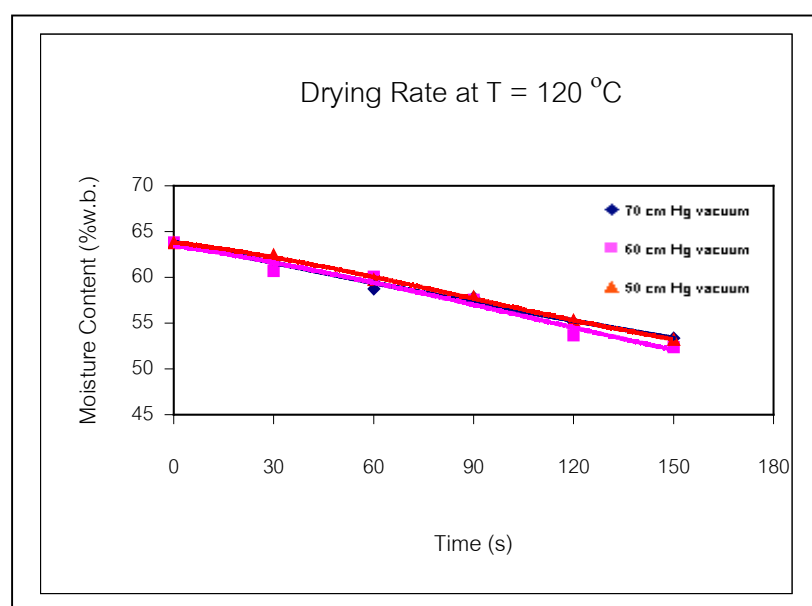
1. ปริมาณความชื้นของผลิตภัณฑ์เต้าหู้ปลา

ปริมาณความชื้นของผลิตภัณฑ์เต้าหู้ปลา ซึ่งทดสอบภายใต้ระยะเวลาที่กำหนด 150 วินาที สำหรับการทดสอบภายใต้สภาวะสุญญาการนั้น ช่วงเวลาดังกล่าวถือได้ว่าเป็นช่วงเวลาที่สั้นมาก และถือได้ว่าการดำเนินอยู่ในช่วงเริ่มต้นของการให้ความร้อน น้ำหรือความชื้นภายในผลิตภัณฑ์เต้าหู้ปลาจำเป็นต้องใช้พลังงานความร้อนที่ถ่ายโอนจากน้ำมันที่ใช้ในการทดสอบผ่านเนื้อผลิตภัณฑ์เต้าหู้ปลาเพื่อเพิ่มขึ้นของอุณหภูมิและเปลี่ยนสถานะของตัวมันเอง จากอุณหภูมิห้องที่ 26-28 องศาเซลเซียส สถานะของเหลวสู่จุดเดือดของน้ำในสถานะไอกในแต่ละความดันสุญญาการ

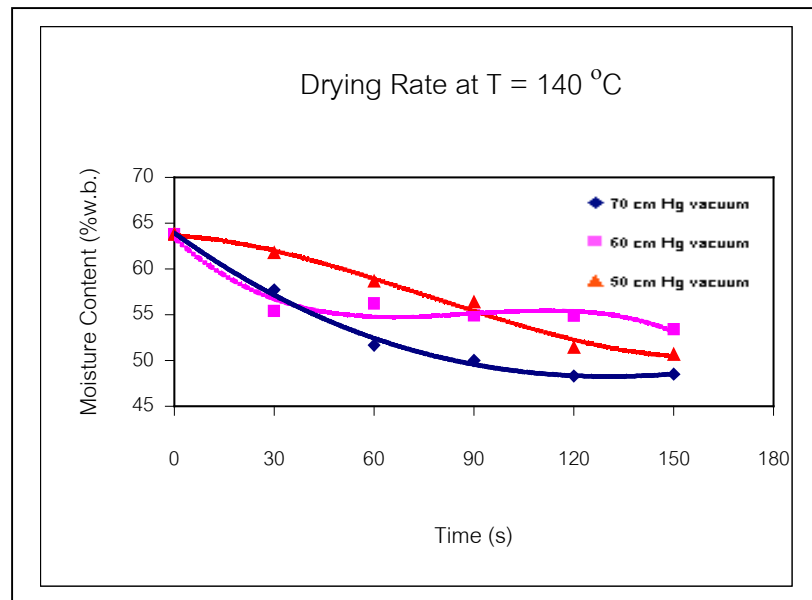
จากราฟประกอบที่ 3-1 ถึงราฟประกอบที่ 3-3 เป็นกราฟแสดงปริมาณความชื้นของผลิตภัณฑ์เต้าหู้ปลาที่ทดสอบภายใต้สภาวะสุญญาการที่อุณหภูมิน้ำมันที่ใช้ทดสอบ 100, 120 และ 140 องศาเซลเซียส ตามลำดับ ราฟประกอบที่ 3-4 ถึงราฟประกอบที่ 3-6 เป็นกราฟแสดงปริมาณความชื้นของผลิตภัณฑ์เต้าหู้ปลาที่ทดสอบภายใต้สภาวะสุญญาการที่ความดันสุญญาการที่ใช้ทดสอบ 50, 60 และ 70 เซนติเมตรปดาทสุญญาการ ราฟประกอบดังกล่าวแสดงให้เห็นว่าอัตราการระเหยของความชื้นหรือน้ำออกจากการผลิตภัณฑ์เต้าหู้ปลาอย่างอยู่ในช่วงแรกของการระเหย ได้แก่ ช่วง initial heating (the initial heating period) โดยสังเกตได้จากกราฟซึ่งยังไม่เข้าสู่สถานะคงตัว ปริมาณความชื้นสุดท้ายของผลิตภัณฑ์เต้าหู้ปลาจึงยังคงสูงอยู่ โดยปริมาณความชื้นสุดท้ายหลังจากผ่านการทดสอบแล้ว 150 วินาที จะมีปริมาณความชื้นอยู่ในช่วง 50-62 เปอร์เซ็นต์ ขึ้นกับอุณหภูมน้ำมันและความดันที่ใช้ในการทดสอบ โดยที่ความชื้นจะลดลงเริ่มต้นของผลิตภัณฑ์ก่อนทดสอบอยู่ในช่วง 60-65 เปอร์เซ็นต์



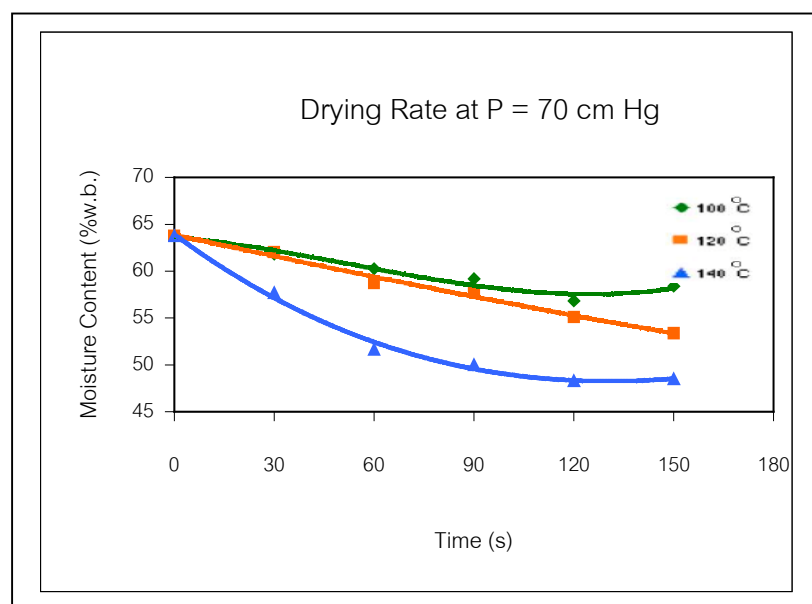
ภาพประกอบที่ 3-1 กราฟแสดงปริมาณความชื้นของผลิตภัณฑ์ที่อุณหภูมิน้ำมันที่ใช้ในการทดสอบ 100 องศาเซลเซียส ที่ความดัน 50, 60, 70 เซนติเมตรปืนอุ่นต่อสูญญากาศ



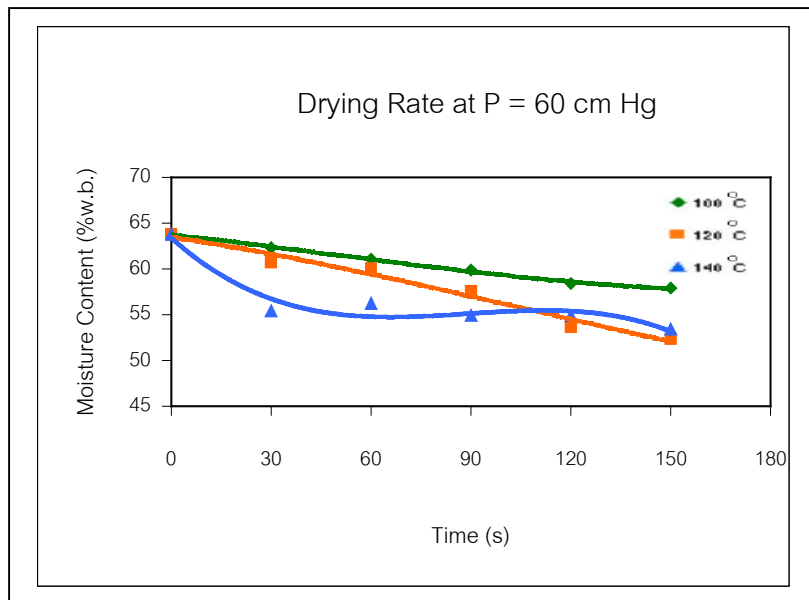
ภาพประกอบที่ 3-2 กราฟแสดงปริมาณความชื้นของผลิตภัณฑ์ที่อุณหภูมิน้ำมันที่ใช้ในการทดสอบ 120 องศาเซลเซียส ที่ความดัน 50, 60, 70 เซนติเมตรปืนอุ่นต่อสูญญากาศ



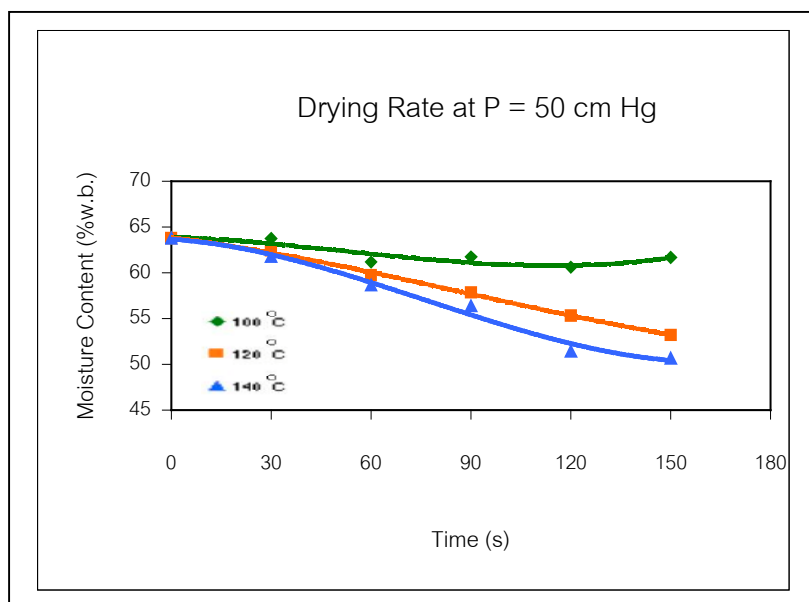
ภาพประกอบที่ 3-3 กราฟแสดงปริมาณความชื้นของผลิตภัณฑ์ที่อุณหภูมิน้ำมันที่ใช้ในการทดสอบ 140 องศาเซลเซียส ที่ความดัน 50, 60, 70 เซนติเมตรปascals ที่ใช้ในการทดสอบ



ภาพประกอบที่ 3-4 กราฟแสดงปริมาณความชื้นของผลิตภัณฑ์ที่ความดันที่ใช้ในการทดสอบ 70 เซนติเมตรปascals ที่อุณหภูมิที่ใช้ในการทดสอบ 100, 120, 140 องศาเซลเซียส



ภาพประกอบที่ 3-5 กราฟแสดงปริมาณความชื้นของผลิตภัณฑ์ที่ความดันที่ใช้ในการทodor 60 เซนติเมตรปืนทสุญญาการ คุณภาพที่ใช้ในการทodor 100, 120, 140 องศาเซลเซียส



ภาพประกอบที่ 3-6 กราฟแสดงปริมาณความชื้นของผลิตภัณฑ์ที่ความดันที่ใช้ในการทodor 50 เซนติเมตรปืนทสุญญาการ คุณภาพที่ใช้ในการทodor 100, 120, 140 องศาเซลเซียส

ผลิตภัณฑ์เต้าหู้ปลาที่ใช้ในการทดลองนั้น โดยปกติแล้วจะมีความชื้นเริ่มต้นของผลิตภัณฑ์อยู่แล้ว โดยมีความแตกต่างของปริมาณความชื้นเริ่มต้นของผลิตภัณฑ์อยู่ในช่วงค่าที่ไม่กว้างนัก ในการทำการทำทดลองไม่สามารถควบคุมปริมาณความชื้นเริ่มต้นของผลิตภัณฑ์ได้ ในการทดลองเพื่อหาปริมาณความชื้นของผลิตภัณฑ์จึงมีผลกระทบให้การปริมาณน้ำมันของผลิตภัณฑ์ที่หาได้ในบางครั้งสูงหรือต่ำจนเกินไป แต่หากมองในภาพรวมจะสังเกตได้ว่าปริมาณความชื้นของผลิตภัณฑ์เต้าหู้ปลายังคงลดลงเมื่อเวลาในการทดสอบเพิ่มขึ้น

เมื่อเปรียบเทียบการทำท่อที่อุณหภูมน้ำมันที่ใช้ในการทดสอบเดียวกัน พบร่วงปริมาณความชื้นของผลิตภัณฑ์เต้าหู้ปลาที่ทดสอบภายใต้สภาวะสูญญากาศที่อุณหภูมิ 100 องศาเซลเซียส ความดันสูญญากาศต่ำ (50 เซนติเมตรปดาหสูญญากาศ) จะมีปริมาณความชื้นของผลิตภัณฑ์มากที่สุด และเมื่อเปรียบเทียบการทำท่อที่ความดันที่ใช้ในการทดสอบเดียวกัน พบร่วงภายใต้สภาวะสูญญากาศที่ความดัน 70 เซนติเมตรปดาหสูญญากาศ ปริมาณความชื้นของผลิตภัณฑ์เต้าหู้ปลาต่ำที่สุดที่อุณหภูมน้ำมันที่ใช้ทดสอบ 140 องศาเซลเซียส

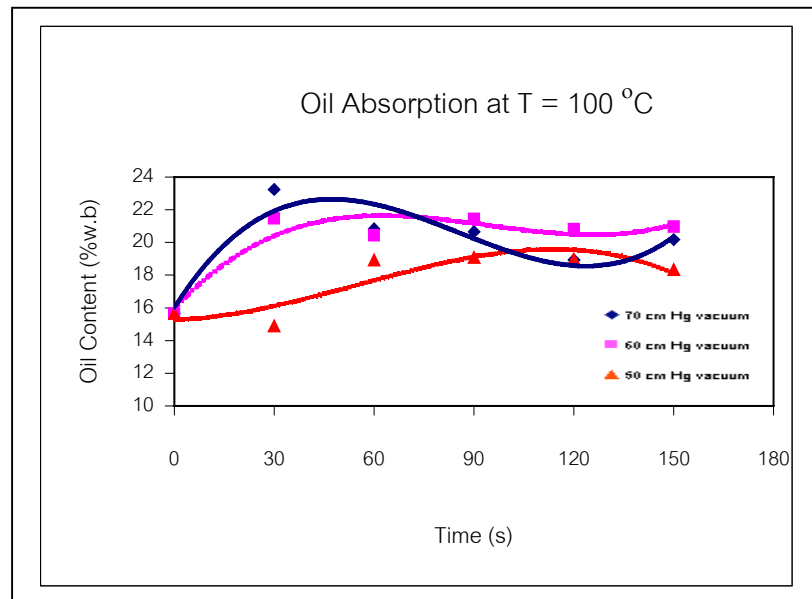
2. ปริมาณน้ำมันของผลิตภัณฑ์เต้าหู้ปลา

ปริมาณน้ำมันของผลิตภัณฑ์เต้าหู้ปลา ซึ่งทดสอบภายใต้ระยะเวลาที่กำหนด 150 วินาที สำหรับการทำภายใต้สภาวะสูญญากาศนั้น การเพิ่มขึ้นของน้ำมันของผลิตภัณฑ์เต้าหู้ปลาจะมีปริมาณสูงในช่วงประมาณ 60 วินาทีแรกของการทดสอบ

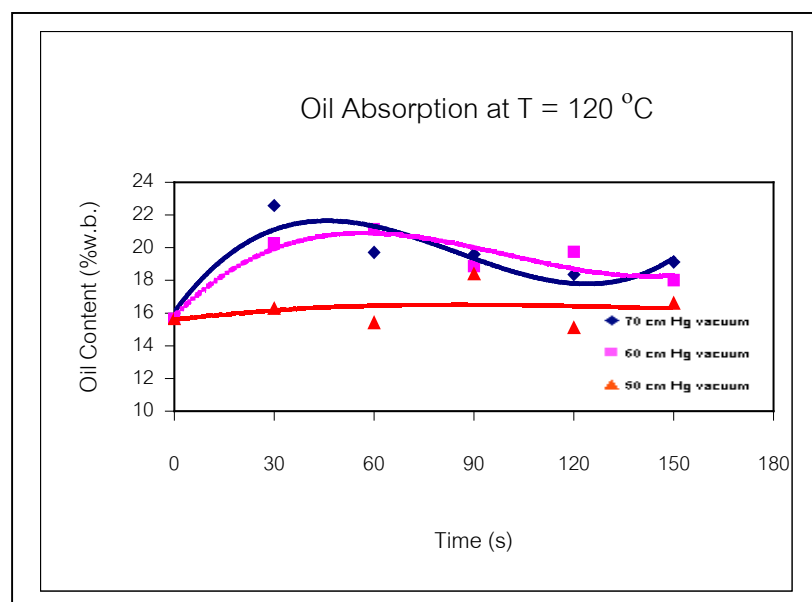
จากภาพประกอบที่ 3-7 ถึงภาพประกอบที่ 3-9 เป็นกราฟแสดงปริมาณน้ำมันของผลิตภัณฑ์เต้าหู้ปลาที่ทดสอบภายใต้สภาวะสูญญากาศที่อุณหภูมน้ำมันที่ใช้ทดสอบ 100, 120 และ 140 องศาเซลเซียส ตามลำดับ ภาพประกอบที่ 3-10 ถึงภาพประกอบที่ 3-12 เป็นกราฟแสดงปริมาณน้ำมันของผลิตภัณฑ์เต้าหู้ปลาที่ทดสอบภายใต้สภาวะสูญญากาศที่ความดันสูญญากาศที่ใช้ทดสอบ 50, 60 และ 70 เซนติเมตรปดาหสูญญากาศ ภาพประกอบดังกล่าวแสดงให้เห็นว่า น้ำมันที่ใช้ในการทดสอบผลิตภัณฑ์เต้าหู้ปลาจะมีการถ่ายโอนเข้าสู่ผลิตภัณฑ์เต้าหู้ปลาดังกล่าวอย่างรวดเร็วในช่วงเวลาประมาณ 60 วินาทีแรกของการทดสอบ หลังจากนั้นการถ่ายโอนจะลดลง โดยปริมาณน้ำมันของผลิตภัณฑ์สูดท้ายหลังจากผ่านการทำทดสอบไปแล้ว 150 วินาที จะมีปริมาณน้ำมันที่ค่าเฉลี่ย 18.94 เปอร์เซ็นต์ ขึ้นกับอุณหภูมน้ำมันและความดันที่ใช้ในการทดสอบ โดยที่ปริมาณน้ำมันเริ่มต้นของผลิตภัณฑ์ก่อนทดสอบอยู่ที่ค่าเฉลี่ย 15.65 เปอร์เซ็นต์

ผลิตภัณฑ์เต้าหู้ปลาที่ใช้ในการทดลองนั้น โดยปกติแล้วจะมีไขมันเริ่มต้นอยู่แล้ว เช่น เดียวกับความชื้นเริ่มต้นของผลิตภัณฑ์และมีปริมาณไขมันของผลิตภัณฑ์ดังกล่าวอยู่ในช่วงค่าที่กว้าง ในการทำการทำทดลองไม่สามารถควบคุมปริมาณไขมันเริ่มต้นได้ ในการสกัดเพื่อหาปริมาณ

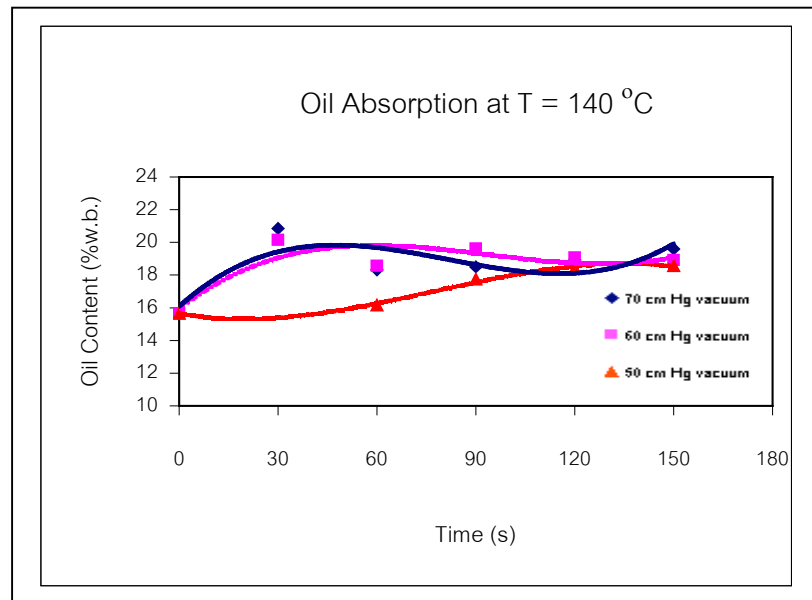
น้ำมันจะมีไขมันบางส่วนที่ไม่ใช่น้ำมันที่ใช้ในการทดสอบที่ผลิตภัณฑ์เต้าหู้ปลาดูดซึมเข้าไปออก มาด้วย สาเหตุดังกล่าวจึงมีผลกระทบให้การปริมาณน้ำมันของผลิตภัณฑ์ที่สกัดได้ในบางครั้งสูง จนเกินไป โดยภาพรวมของปริมาณน้ำมันของผลิตภัณฑ์ที่ทำการสกัดได้จากผลิตภัณฑ์เต้าหู้ปลาที่ผ่านการทดสอบที่เวลาต่าง ๆ นั้น จะสังเกตได้ว่ายังคงเพิ่มขึ้นเมื่อเวลาในการทดสอบเพิ่มขึ้น



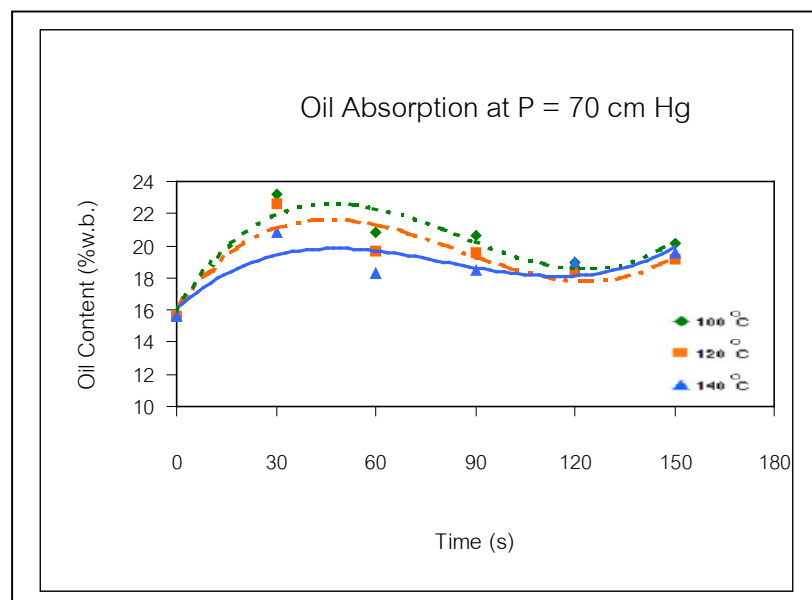
ภาพประกอบที่ 3-7 กราฟแสดงปริมาณน้ำมันของผลิตภัณฑ์ที่คุณหมูน้ำมันที่ใช้ในการทดสอบ 100 องศาเซลเซียส ที่ความดัน 50, 60, 70 เซนติเมตรปืนที่สูญญากาศ



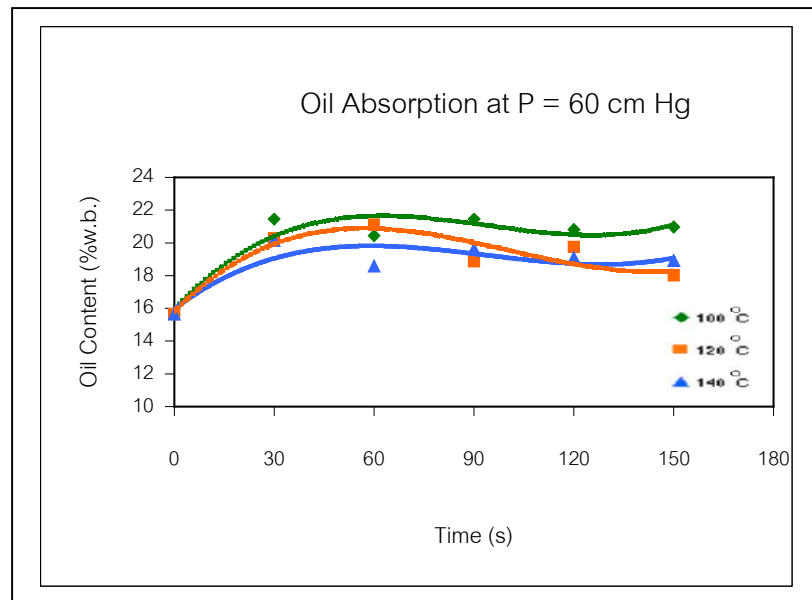
ภาพประกอบที่ 3-8 กราฟแสดงปริมาณน้ำมันของผลิตภัณฑ์ที่คุณหมูน้ำมันที่ใช้ในการทดสอบ 120 องศาเซลเซียส ที่ความดัน 50, 60, 70 เซนติเมตรปืนที่สูญญากาศ



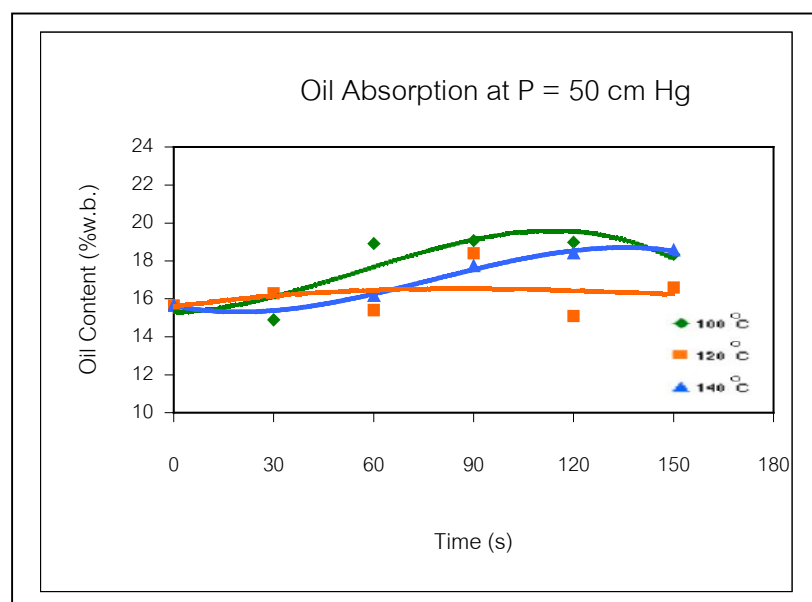
ภาพประกอบที่ 3-9 กราฟแสดงปริมาณน้ำมันของผลิตภัณฑ์ที่อุณหภูมน้ำมันที่ใช้ในการทดสอบ 140 องศาเซลเซียส ที่ความดัน 50, 60, 70 เซนติเมตรปืนที่สูญญากาศ



ภาพประกอบที่ 3-10 กราฟแสดงปริมาณน้ำมันของผลิตภัณฑ์ที่ความดันที่ใช้ในการทดสอบ 70 เซนติเมตรปืนที่สูญญากาศ อุณหภูมิที่ใช้ในการทดสอบ 100, 120, 140 องศาเซลเซียส



ภาพประกอบที่ 3-11 กราฟแสดงปริมาณน้ำมันของผลิตภัณฑ์ที่ความดันที่ใช้ในการทดสอบ 60 เซนติเมตรปดาทสุญญากาศ อุณหภูมิที่ใช้ในการทดสอบ 100, 120, 140 องศาเซลเซียส



ภาพประกอบที่ 3-12 กราฟแสดงปริมาณน้ำมันของผลิตภัณฑ์ที่ความดันที่ใช้ในการทดสอบ 50 เซนติเมตรปดาทสุญญากาศ อุณหภูมิที่ใช้ในการทดสอบ 100, 120, 140 องศาเซลเซียส

เมื่อเปรียบเทียบการทดสอบที่อุณหภูมน้ำมันที่ใช้ในการทดสอบเดียวกัน พบร่วงปริมาณน้ำมันของผลิตภัณฑ์เต้าหู้ปลาที่อุณหภูมิ 120 องศาเซลเซียส ภายใต้สภาวะสุญญากาศสูงจะมีปริมาณ

น้ำมันของผลิตภัณฑ์สูงที่สุด และเมื่อเปรียบเทียบการทดสอบที่ความดันที่ใช้ในการทดสอบเดียวกัน พบร่วงผลกระทบของอุณหภูมิของน้ำมันที่ความดัน 70 เมตรปอนด์ส่วนใหญ่ลดลง ต่อปริมาณน้ำมันของผลิตภัณฑ์ไม่มีความต่างกันมากนัก สาเหตุดังกล่าวเนื่องมาจากกระบวนการเกิดผิวนั้นแข็ง ซึ่งก็คือผิวของขี้นอาหารที่เกิดการแข็งตัวหรือเกิดการเกรียมขึ้นที่เรียกว่า crust และความดันภายในของผลิตภัณฑ์ โดยจะมีปริมาณน้ำมันสูงในช่วงแรกของกระบวนการทดสอบซึ่งในช่วงเวลาดังกล่าวนั้นมีอัตราการระเหยของน้ำออกจากการผลิตภัณฑ์เต้าหู้ปลาในอัตราสูง

3. ผลิตภัณฑ์เต้าหู้ปลา

3.1 สีของผลิตภัณฑ์เต้าหู้ปลา

เปรียบเทียบสีของผลิตภัณฑ์เต้าหู้ปลาที่ทำการทดสอบภายใต้สภาวะส่วนใหญ่และการทดสอบภายใต้สภาวะบรรยายกาศ ด้วยเวลาที่ใช้การทดสอบ 150 วินาที เมื่อเปรียบเทียบที่ความดันส่วนใหญ่ที่ใช้ในการทดสอบเดียวกัน 70 เมตรปอนด์ส่วนใหญ่ลดลง พบว่า สีของผลิตภัณฑ์เต้าหู้ปลาที่อุณหภูมิในการทดสอบสูงที่สุด 140 องศาเซลเซียส มีสีเข้มที่สุด และสีของผลิตภัณฑ์เต้าหู้ปลาที่อุณหภูมิของน้ำมันในการทดสอบต่ำที่สุด 100 องศาเซลเซียส มีสีอ่อนที่สุด เมื่อเปรียบเทียบที่อุณหภูมิที่ใช้ในการทดสอบเท่ากัน 120 องศาเซลเซียส พบว่า สีของผลิตภัณฑ์เต้าหู้ปลาที่ความดันส่วนใหญ่ที่ใช้ในการทดสอบที่ต่ำที่สุด 50 เมตรปอนด์ส่วนใหญ่ลดลง 70 เมตรปอนด์ส่วนใหญ่ มีสีอ่อนที่สุด และเมื่ออุณหภูมิของน้ำมันที่ใช้ทดสอบและความดันส่วนใหญ่ที่ใช้ในการทดสอบเท่ากัน 120 องศาเซลเซียส ความดัน 60 เมตรปอนด์ส่วนใหญ่ลดลง พบว่า สีของผลิตภัณฑ์เต้าหู้ปลาซึ่งใช้เวลาในการทดสอบมากขึ้น ที่ 3.5 นาที จะมีสีเข้มกว่าสีของผลิตภัณฑ์เต้าหู้ปลาที่ใช้เวลาในการทดสอบน้อยกว่า 150 วินาที ดังแสดงในตารางที่ 3-1

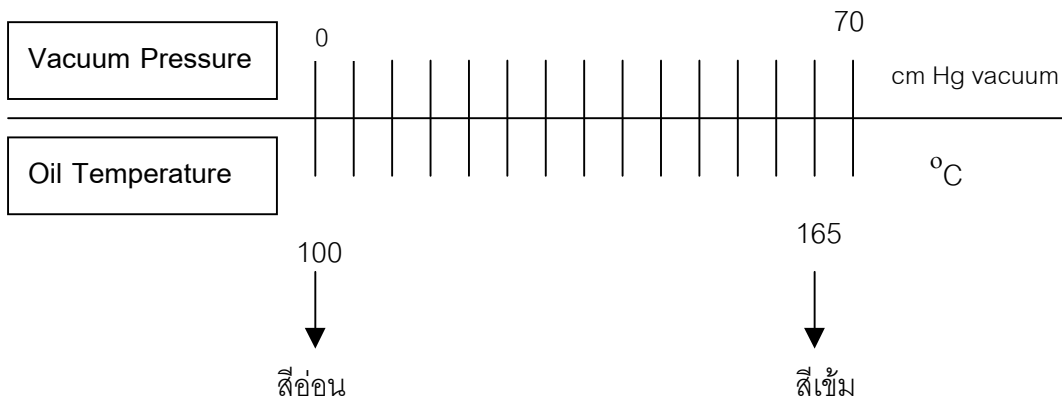
ตารางที่ 3-1 ตารางแสดงค่าสีของผลิตภัณฑ์เต้าหู้ปลา

Condition			Color index		
Oil Temperature (°C)	Vacuum Pressure (cm Hg vacuum)	Frying Time (s)	L (unit)	a (unit)	b (unit)
100	70	150	83.39	-1.60	8.72
120	50	150	81.39	-1.90	16.20
120	60	150	78.40	-1.94	17.57
120	60	180	76.62	-1.47	20.20
120	70	150	79.08	-2.17	16.79
140	70	150	66.09	3.43	26.58
165 (exp)	0	150	69.09	7.32	26.31
165 (PFP)	0	150	59.81	13.49	27.81

ผลิตภัณฑ์เต้าหู้ปลาที่ทอດภายนอกได้สภาวะบรรยายกาศซึ่งผ่านกระบวนการทอดจากโรงงาน (PFP) มีสีเข้มกว่าผลิตภัณฑ์ที่ทอດภายนอกได้สภาวะบรรยายกาศที่ได้จากการทดลอง ผลิตภัณฑ์ที่ทอດภายนอกได้สภาวะบรรยายกาศ มีสีเข้มกว่าผลิตภัณฑ์ที่ทอດภายนอกได้สภาวะสุญญากาศ โดยที่ผลิตภัณฑ์ที่ทอດภายนอกได้สภาวะสุญญากาศที่อุณหภูมิ 140 องศาเซลเซียส ความดัน 70 เซนติเมตร ปดาบทสุญญากาศ มีสีใกล้เคียงกับที่ทอດภายนอกได้สภาวะบรรยายกาศที่ได้จากการทดลองมากที่สุด รองลงมาคือผลิตภัณฑ์ที่ได้จากการทอดภายนอกได้สภาวะสุญญากาศที่อุณหภูมน้ำมันในการทอด 120 องศาเซลเซียส และ 100 องศาเซลเซียส ตามลำดับ โดยที่สีของผลิตภัณฑ์เต้าหู้ปลาที่ทอດภายนอกได้สภาวะสุญญากาศมีการเปลี่ยนแปลงความเข้มสีมากน้อยต่างกันเป็นผลเนื่องจากอุณหภูมน้ำมันที่ใช้ในการทอดและความดันสุญญากาศที่ใช้ในการทอด

นอกจากนี้ปัจจัยด้านสีของน้ำมันที่ใช้ในการทอดก็มีผลต่อความเข้มสีของผลิตภัณฑ์ สีของน้ำมันที่ใหม่ที่ยังไม่ผ่านการใช้งานจะใสและอ่อนกว่าสีของน้ำมันที่ผ่านการใช้งานมาแล้วดังนั้นการทอดผลิตภัณฑ์เต้าหู้ปลาซึ่งเดิมนั้นตัวอัตโนมัติจะมีสีขาวล้วนน่าจะได้รับผลกระทบจากสีของน้ำมันด้วยอีกประการหนึ่ง ดังจะสังเกตเห็นได้ว่าที่จำนวนครั้งในการทอดเพิ่มขึ้น สีของของผลิตภัณฑ์มีความเข้มมากขึ้นโดยใน การทอดภายนอกได้สภาวะสุญญากาศซึ่งใช้อุณหภูมน้ำมันในการทอด ตัวจะสังเกตได้ชัดเจนกว่าการทอดภายนอกได้สภาวะบรรยายกาศซึ่งใช้อุณหภูมน้ำมันในการทอดสูงกว่า

มาก เนื่องจากการทดสอบภายใต้สภาวะที่อุณหภูมิต่ำ อุณหภูมน่าจะมีผลกระทบต่อการไหม์เกริ่ยม และความเข้มสีของผลิตภัณฑ์ได้น้อยกว่า แต่เนื่องด้วยในการทดลองที่ผ่านมาใช้เวลาในการทดสอบ ผลิตภัณฑ์เต้าหู้ปลาเพียงช่วงระยะเวลาสั้น ๆ ต่อครั้งของการทดสอบ และตลอดการทดลอง การเปลี่ยนสภาพของน้ำมันจึงเกิดขึ้นน้อย ผลกระทบที่เกิดจากสีของน้ำมันจึงน่าจะเกิดขึ้นน้อยมาก



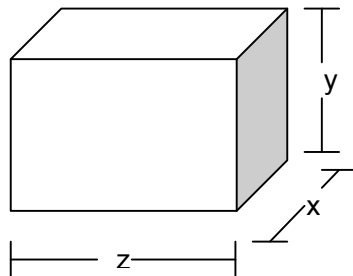
ภาพประกอบที่ 3-13 ภาพแสดงการเปรียบเทียบสีของผลิตภัณฑ์เต้าหู้ปลาที่สภาวะต่าง ๆ

3.2 การขยายตัวของผลิตภัณฑ์เต้าหู้ปลา

ภายหลังจากการวัดขนาดผลิตภัณฑ์เต้าหู้ปลา ก่อนการทดสอบและหลังการทดสอบที่ สภาวะต่าง ๆ โดยทำการวัดภายหลังจากการหีบห่ำที่ตัวยี่ห้อเครื่องมือเวอร์เนียร์ มิเตอร์ พบว่าผลิตภัณฑ์เต้าหู้ปลา ก่อนการทดสอบ มีขนาดโดยเฉลี่ย $2.67 \times 2.75 \times 3.11$ เซนติเมตร ดังแสดงในตารางที่ 3-2 หลังจากผ่านกระบวนการทดสอบ โดยใช้ความดันสุญญากาศในการทดสอบ เดียว กัน 70 เซนติเมตรป्रอทสุญญากาศ พบร่วมกับ ที่อุณหภูมิของน้ำมันที่ใช้ในการทดสอบสูงที่สุด 140 องศาเซลเซียส มีเปอร์เซ็นต์การขยายตัวของผลิตภัณฑ์เต้าหู้ปลาสูงที่สุด ที่อุณหภูมิของน้ำมันที่ใช้ในการทดสอบต่ำที่สุด 100 องศาเซลเซียส มีเปอร์เซ็นต์การขยายตัวของผลิตภัณฑ์เต้าหู้ปลาต่ำที่สุด โดยหากใช้อุณหภูมิของน้ำมันในการทดสอบเดียว กัน พบร่วมกับ ที่ความดันสุญญากาศที่ใช้ในการทดสอบต่ำที่สุด 50 เซนติเมตรป्रอทสุญญากาศ มีเปอร์เซ็นต์การขยายตัวของผลิตภัณฑ์เต้าหู้ปลาต่ำที่สุด ที่ความดันสุญญากาศสูงที่สุด 70 เซนติเมตรป्रอทสุญญากาศ มีเปอร์เซ็นต์การขยายตัวของผลิตภัณฑ์เต้าหู้ปลาสูงที่สุด ในขณะที่เมื่อทำการทดสอบผลิตภัณฑ์เต้าหู้ปลาที่อุณหภูมิที่ใช้ในการทดสอบ และความดันสุญญากาศที่ใช้ในการทดสอบเดียว กัน 120 องศาเซลเซียส 60 ป्रอทสุญญากาศ พบร่วมกับ ผลิตภัณฑ์เต้าหู้ปลาที่ใช้ในการทดสอบมากกว่า 210 วินาที มีการขยายตัวมากกว่าผลิตภัณฑ์เต้าหู้ปลาที่ใช้เวลาในการทดสอบน้อยกว่า 150 วินาที ดังแสดงในตารางที่ 3-3

ตารางที่ 3-2 ตารางแสดงขนาดของผลิตภัณฑ์เต้าหู้ปลาก่อนทดสอบ

Product	x average (cm)	y average (cm)	z average (cm)	Volume (cm ³)
raw	2.67	2.75	3.11	22.78



ภาพประกอบที่ 3-14 ภาพแสดงทิศทางการวัดขนาดผลิตภัณฑ์เต้าหู้ปลา

ตารางที่ 3-3 ตารางแสดงเปอร์เซ็นต์การขยายตัวของผลิตภัณฑ์เต้าหู้ปลา

Condition		% Expansion			
Oil Temperature (°C)	Vacuum Pressure (cm Hg vacuum)	ΔV_x (%)	ΔV_y (%)	ΔV_z (%)	Volume (%)
100	70	3.37	6.61	1.45	12.06
120	50	1.75	9.09	0.75	12.10
120	60	6.68	13.09	2.95	20.71
120	70	11.05	13.64	9.16	38.09
140	70	11.24	24.12	13.45	57.02
165	0	3.25	10.30	5.31	20.22

$$\Delta V_x = \frac{(V_x - V_{x0})}{V_{x0}} \times 100 \quad (3.1)$$

$$\Delta V_y = \frac{(V_y - V_{y0})}{V_{y0}} \times 100 \quad (3.2)$$

$$\Delta V_z = \frac{(V_z - V_{z0})}{V_{z0}} \times 100 \quad (3.3)$$

$$\%Volume = \frac{(V_x V_y V_z - V_{x0} V_{y0} V_{z0})}{V_{x0} V_{y0} V_{z0}} \times 100 \quad (3.4)$$

โดยที่	V_{x0}	คือ	ความยาวในแนวแกน x ของผลิตภัณฑ์ก่อนทดสอบ
	V_{y0}	คือ	ความยาวในแนวแกน y ของผลิตภัณฑ์ก่อนทดสอบ
	V_{z0}	คือ	ความยาวในแนวแกน z ของผลิตภัณฑ์ก่อนทดสอบ
	V_x	คือ	ความยาวในแนวแกน x ของผลิตภัณฑ์หลังทดสอบ
	V_y	คือ	ความยาวในแนวแกน y ของผลิตภัณฑ์หลังทดสอบ
	V_z	คือ	ความยาวในแนวแกน z ของผลิตภัณฑ์หลังทดสอบ
	ΔV_x	คือ	การเปลี่ยนแปลงความยาวในแนวแกน x
	ΔV_y	คือ	การเปลี่ยนแปลงความยาวในแนวแกน y
	ΔV_z	คือ	การเปลี่ยนแปลงความยาวในแนวแกน z

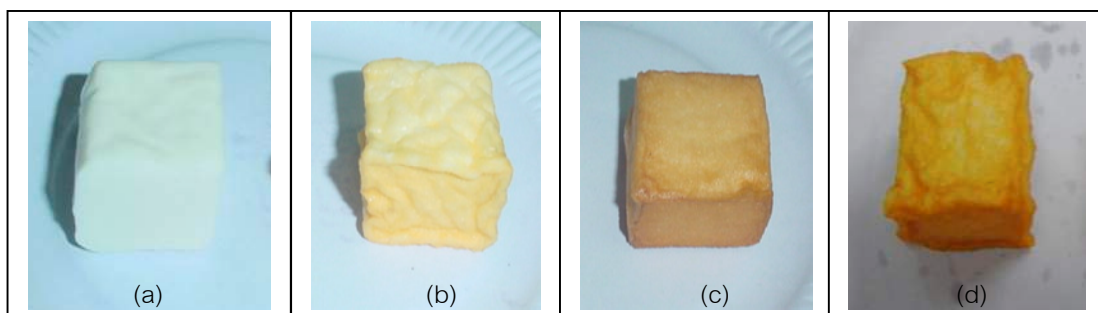
การขยายตัวของผลิตภัณฑ์เต้าหู้ปลาที่ทดสอบภายใต้สภาวะสุญญาการค มีการขยายตัวสูงกว่าผลิตภัณฑ์ที่ทดสอบภายใต้สภาวะบรรยากาศ การขยายตัวของผลิตภัณฑ์เต้าหู้ปลาสามารถน้อยเป็นผลเนื่องจากอุณหภูมิที่ใช้ในการทดสอบและความดันสุญญาการคที่ใช้ในการทดสอบ

3.3 เนื้อสัมผัสของผลิตภัณฑ์เต้าหู้ปลา

เนื้อสัมผัสของผลิตภัณฑ์เต้าหู้ปลา จากผลิตภัณฑ์เต้าหู้ปลาที่ทดสอบภายใต้สภาวะบรรยากาศ โดยการทดสอบแบบกรวยที่อุณหภูมิของน้ำมันที่ใช้ในการทดสอบ 165 องศาเซลเซียส ความดันบรรยากาศ เวลาที่ใช้ในการทดสอบ 150 วินาที จากบริษัทแบซิฟิกเพรเวอร์สตันจำกัด และจากการทดสอบโดยใช้สภาวะตั้งกล่าวด้วยเครื่องทดสอบสุญญาการค ผลิตภัณฑ์ที่ทดสอบภายใต้สภาวะสุญญาการคที่อุณหภูมิของน้ำมันในการทดสอบ 120 องศาเซลเซียส ความดันสุญญาการคที่ใช้ในการทดสอบ 60 เซนติเมตรปืนทดสอบสุญญาการค จากการทดสอบเนื้อสัมผัสของผลิตภัณฑ์เต้าหู้ปลา พบว่า ผลิตภัณฑ์ที่ทดสอบภายใต้สภาวะบรรยากาศจากโรงงาน และจากการทดลอง โดยใช้สภาวะเดียวกัน ที่อุณหภูมน้ำมันในการทดสอบ 165 องศาเซลเซียส ความดันบรรยากาศนั้นมีเนื้อสัมผัสดีกว่ากัน ผลิตภัณฑ์ที่ทดสอบภายใต้สภาวะสุญญาการคที่ 120 องศาเซลเซียส ที่ความดันต่างกัน มีเนื้อสัมผัสดีกว่ากัน และพบว่า ผลิตภัณฑ์ที่ทดสอบภายใต้สภาวะสุญญาการคที่ 60 และ 70 เซนติเมตรปืนทดสอบสุญญาการค มีค่าเนื้อสัมผัสใกล้เคียงกับผลิตภัณฑ์เต้าหู้ปลาที่ทดสอบภายใต้สภาวะบรรยากาศที่ได้จากการทดลอง ดังแสดงในตารางที่ 3-4

4. เปรียบเทียบการทดสอบภายใต้สภาวะสุญญาากาศและภายใต้สภาวะบรรยายากาศ

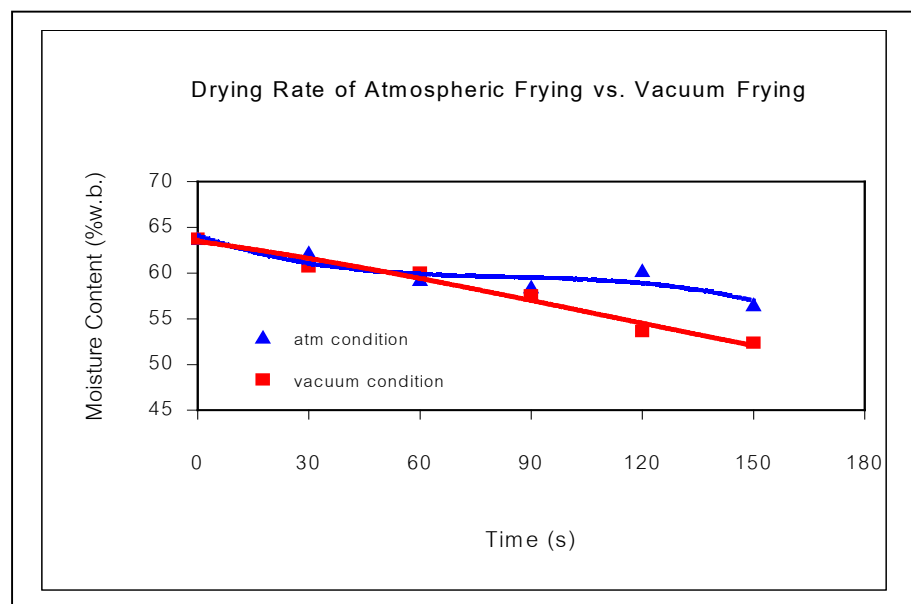
เปรียบเทียบการสูญเสียความชื้นระหว่างการทดสอบภายใต้สภาวะสุญญาากาศ (120 องศาเซลเซียส ความดัน 60 เซนติเมตรปดาทสุญญาากาศ) และการทดสอบภายใต้สภาวะบรรยายากาศ (165 องศาเซลเซียส ความดันบรรยายากาศ) โดยสารเนตรที่เลือกสภาวะสุญญาากาศที่ 120 องศาเซลเซียส ความดัน 60 เซนติเมตรปดาทสุญญาากาศ เนื่องจากจากผลการทดลองใน 3.1, 3.2 และ 3.3 พบร่วมกับความสามารถใช้เปอร์เซ็นความชื้นและปริมาณน้ำมันน้อยที่สุดในผลิตภัณฑ์สุดท้ายที่เวลาในการทดสอบเท่ากันเป็นตัวตัดสินเลือกสภาวะได้ เนื่องจากผลิตภัณฑ์ที่ได้ที่สภาวะในการทดสอบต่างกันมีลักษณะต่างกันดังแสดงผ่านมาแล้วใน 3.3 ดังนั้นจึงจำเป็นต้องอาศัยลักษณะเรื่อง สี การขยายตัวของผลิตภัณฑ์ และลักษณะเนื้อสัมผัสของผลิตภัณฑ์เดาหัวปลาระ哥ด้วย ดังนั้นการทดสอบภายใต้สภาวะสุญญาากาศที่ 120 องศาเซลเซียส ความดัน 60 เซนติเมตรปดาทสุญญาากาศ จึงจะเหมาะสมที่สุดจากสภาวะสุญญาากาศทั้งหมดที่ใช้ในการทดสอบ เนื่องจากมีลักษณะของสีไม่อ่อนเกินไปหรือเข้มเกินในสภาวะที่อุณหภูมิในการทดสอบ ต่ำ 100 องศาเซลเซียส มีการขยายตัวในระดับไม่มากจนเกินไปและไม่มีขันผิวนหนังแข็งหนาเหมือนในสภาวะที่อุณหภูมน้ำมันในการทดสอบสูง 140 องศาเซลเซียส เนื้อสัมผัสมีค่าโดยภาพรวมใกล้เคียงกับที่ความดันสุญญาากาศสูง 70 เซนติเมตรปดาทสุญญาากาศ และสภาวะบรรยายากาศ หากแต่เมื่อการขยายตัวน้อยกว่าที่ความดันสุญญาากาศสูง ถึงแม้ค่าความชื้นและปริมาณน้ำมันที่ผลิตภัณฑ์ภายหลังการทดสอบที่ 150 วินาทีจะมีค่าอยู่ในระดับกลางเมื่อเทียบกับสภาวะสุญญาากาศอื่นในการทดสอบ



ภาพประกอบที่ 3-15 (a) ภาพแสดงผลิตภัณฑ์เดาหัวปลาก่ออนทดสอบ (สีขาว), (b) หลังทดสอบภายใต้สภาวะสุญญาากาศ (สีเหลือง), (c) หลังทดสอบภายใต้สภาวะบรรยายากาศจากโรงงาน (สีน้ำตาล) และ (d) หลังทดสอบภายใต้สภาวะบรรยายากาศจากการทดลอง (สีเหลืองเข้ม)

ดังนั้นเมื่อทำการเปรียบเทียบการสูญเสียความชื้นระหว่างการทดสอบภายใต้สภาวะสุญญาากาศ (120 องศาเซลเซียส ความดัน 60 เซนติเมตรปดาทสุญญาากาศ) และการทดสอบภายใต้

สภาวะบรรยากาศ (165 องศาเซลเซียส ความดันบรรยากาศ) ดังแสดงในภาพประกอบที่ 3-16 พบว่า อัตราการระเหยของน้ำจากผลิตภัณฑ์เต้าหู้ปลาที่ได้จากการทอดภายใต้สภาวะสุญญากาศมีอัตราเร็วในการระเหยใกล้เคียงกับอัตราการระเหยของความชื้นจากผลิตภัณฑ์ที่ได้จากการทอดภายใต้สภาวะบรรยากาศในช่วง 60 วินาทีแรก ของการทอด หลังช่วงเวลาหนึ่งอัตราการระเหยของความชื้นจากผลิตภัณฑ์เต้าหู้ปลาที่ได้จากการทอดภายใต้สภาวะสุญญากาศจะมีอัตราเร็วในการระเหยกว่าอัตราการระเหยของความชื้นจากผลิตภัณฑ์ที่ได้จากการทอดภายใต้สภาวะบรรยากาศ ที่เวลาในการทอดผ่านไป 150 วินาที ปริมาณของความชื้นของผลิตภัณฑ์ที่ทอดภายใต้สภาวะสุญญากาศจะมีค่าน้อยกว่าผลิตภัณฑ์ที่ทอดภายใต้สภาวะบรรยากาศ



ภาพประกอบที่ 3-16 แสดงปริมาณความชื้นในการทอดภายใต้สภาวะสุญญากาศ (120 องศาเซลเซียส ความดัน 60 เซนติเมตรปอนด์สุญญากาศ) เปรียบเทียบกับการทอดภายใต้สภาวะบรรยากาศ (165 องศาเซลเซียส ความดันบรรยากาศ)

ผลของความดันและพิวของชิ้นอาหารที่เกิดการแข็งตัวหรือเกิดการเกรียมขึ้นที่เรียกว่า crust ซึ่งเกิดขึ้นในขณะทำการทอดนั้น เป็นผลให้ปริมาณความชื้นในผลิตภัณฑ์ที่ทอดภายใต้สภาวะสุญญากาศและผลิตภัณฑ์ที่ทอดภายใต้สภาวะบรรยากาศแตกต่างกัน จากกราฟปริมาณความชื้นของผลิตภัณฑ์ที่ทอดภายใต้สภาวะสุญญากาศและบรรยากาศนั้นมีการทำกราฟผ่านไป 30 วินาที จะมีอัตราการระเหยรวดเร็วหรือมีปริมาณความชื้นในผลิตภัณฑ์เต้าหู้ปลาลดลงอย่างรวดเร็ว เนื่องจากเมื่อกายหลังวินาทีที่ 30 ผ่านไปนั้น ผลิตภัณฑ์จะเริ่มเกิด crust ขึ้น การเกิด crust

ในผลิตภัณฑ์ที่ทodoray ให้สภาวะบรรยายการศนั้นทำให้รูปrun ของผลิตภัณฑ์เต้าหู้ปลาซึ่งมีน้ำอยู่เมื่อขนาดเล็กลง น้ำที่อยู่ภายในอาหารจึงระเหยออกมากได้น้อยลง ประกอบกับความดันภายในอกของผลิตภัณฑ์เต้าหู้ปลาหรือความดันภายในเครื่องหยอดนั้นมีค่าสูงกว่าความดันภายในนี้อผลิตภัณฑ์แรงกดดันที่เกิดจากความดันภายในอกที่สูงกว่าส่งผลให้การถ่ายโอนของความชื้นออกจากเนื้อผลิตภัณฑ์ได้น้อยลง ในขณะที่ผลิตภัณฑ์ที่ทodoray ให้สภาวะสุญญากาศนั้น ในเวลาในการหอดเท่ากันกับผลิตภัณฑ์ที่ทodoray ให้สภาวะบรรยายการแต่อุณหภูมิที่ใช้ในการหอดต่างกว่าผิวของชิ้นอาหารที่เกิดการแข็งตัวหรือเกิดการเกรียมขึ้น จึงอาจเกิดได้ช้ากว่า หรืออาจมีชั้นของผิวแข็งดังกล่าวบางกว่า รวมถึงความต่างของผลต่างของความดันภายในนี้อผลิตภัณฑ์และความดันภายในอกผลิตภัณฑ์มีค่าน้อย จึงมีแรงกดดันที่มีผลต่อการถ่ายโอนความชื้นออกจากผลิตภัณฑ์น้อยกว่า การระเหยของความชื้นออกจากผลิตภัณฑ์ที่ทodoray ให้สภาวะสุญญากาศจึงมีมากกว่าผลิตภัณฑ์ที่ทodoray ให้สภาวะบรรยายการ ปริมาณความชื้นของผลิตภัณฑ์ที่ทodoray ให้สภาวะสุญญากาศจึงมีน้อยกว่าผลิตภัณฑ์ที่ทodoray ให้สภาวะบรรยายการ

ในการศึกษาการถ่ายโอนมวลสารในการแปรรูปอาหาร (Mass Transfer in Food Processing) พบว่า การเคลื่อนย้ายของน้ำในอาหารนั้น เมื่ออาหารได้รับความร้อนน้ำที่อยู่ในอาหารจะเคลื่อนตัวออกจากอาหาร ลักษณะการเคลื่อนที่ออกจากอาหาร อาจเป็นลักษณะของการเคลื่อนที่ของเหลวหรือของไอ กล่าวคือ น้ำหรือไอกายในอาหารจะเคลื่อนที่มาที่ผิวน้ำของวัตถุ จากนั้นน้ำที่ผิวจะกลายเป็นไอระเหยออกสู่บรรยายการ กลไกภายในของวัตถุจะผลของสภาพภายนอก ได้แก่ อุณหภูมิ ความชื้นสัมพัทธ์ ความเร็วของลม มีส่วนเกี่ยวข้องกับการเคลื่อนตัวของน้ำ กลไกภายในของวัตถุจะผลของน้ำเหล่านี้ได้พบว่ามีอยู่หลายแบบ ทั้งนี้ขึ้นกับโครงสร้างของอาหาร ชนิดของการเคลื่อนที่ของน้ำอาจเกิดขึ้นจากแรงแคปิลารี (capillary force) การเคลื่อนตัวแบบนี้ พบว่ามีลักษณะที่ชับช้อนมาก นั่นคือหากต่อการแยกแยะจะเป็นการเคลื่อนที่แบบที่เกิดจากความแตกต่างของความเข้มข้น หรือแรงแคปิลารี เมื่อปริมาณน้ำในอาหารลดลงการเคลื่อนที่ของน้ำผ่านแคปิลารีและรูเด็ก ๆ จะเกิดขึ้นจากไอเป็นส่วนใหญ่ ลักษณะการเคลื่อนที่แบบนี้ยังขึ้นกับความดันย่อของน้ำในอาหารและค่าการยอมให้ผ่านของอาหารอีกด้วย (ไฟบูลล์ ธรรมรัตน์วิสาสิก, 2529 ถึงโดย ชาญชัย รังษี, 2547)

การถ่ายโอนมวลเกี่ยวข้องกับการแพร่ของมวลที่เกิดขึ้นระดับโมเลกุลหรือการถ่ายโอนมวลเชิงปริมาตร (bulk transport) เนื่องจากการไหลแบบการพา (convection) กระบวนการแพร่สามารถอธิบายได้โดยสมการทางคณิตศาสตร์ซึ่งใช้กฎของฟิก (Fick's law) กล่าวว่า แมสฟลักซ์

(mass flux) ต่อหน่วยพื้นที่ของคปประกอบหนึ่งเป็นสัดส่วนกับความแตกต่างของความเข้มข้น ดังสมการสำหรับองค์ประกอบใด ๆ

$$\frac{\dot{m}_i}{A} = -D \left(\frac{dc}{dx} \right) \quad (3.5)$$

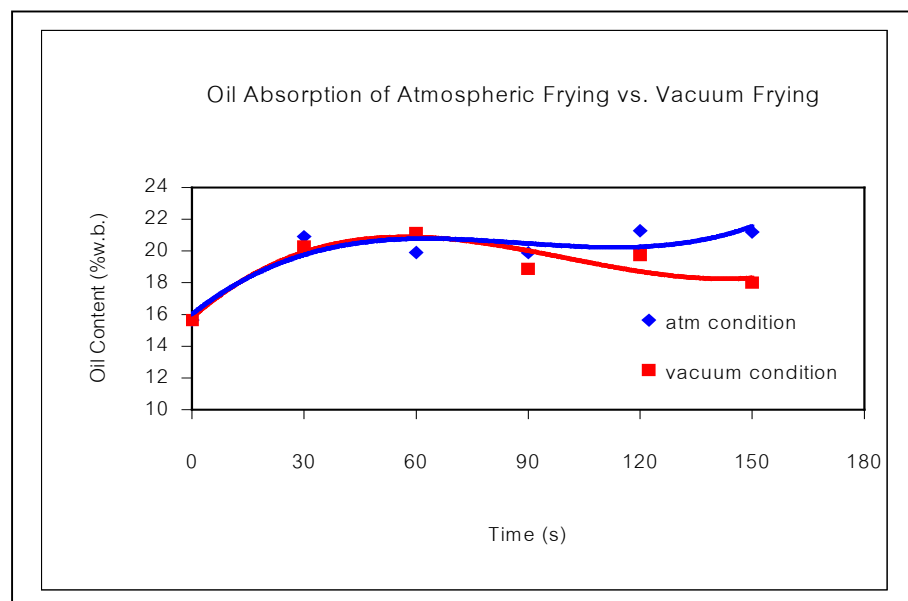
เมื่อ	\dot{m}_i	= อัตราการไหลของมวล (kg/s)
	A	= พื้นที่ (m^2)
	D	= สัมประสิทธิ์การแพร่ (m^2/s)
	dc	= การเปลี่ยนแปลงความเข้มข้นของมวล (kg/m^3)
	dx	= การเปลี่ยนแปลงระยะห่างระหว่างความเข้มข้น 2 จุด ที่กำลังพิจารณา (m)

เนื่องจากการเคลื่อนที่ของน้ำในอาหารเป็นการเคลื่อนที่ของเหลวหรือของไอ ถ้าเป็นการแพร่ของเหลว (liquid diffusion) นั้น การเคลื่อนที่ของน้ำจะเกิดขึ้นเนื่องจากความเข้มข้นที่แตกต่างกันที่เกิดขึ้นเมื่อระเหยน้ำออกไปจากผิวน้ำ นั่นคือความเข้มข้นของแข็งเพิ่มมากขึ้น และปริมาณน้ำลดลง ส่วนการแพร่ของไอน้ำ (water vapor diffusion) เกิดจากความแตกต่างของความดันยอดในอากาศที่อยู่ในรูเปิดเล็ก ๆ มีลักษณะคงที่ และเมื่อไอน้ำที่เกิดจากการระเหยของน้ำแพร่ซึ่งผ่านเข้าไปในรูเปิดเล็ก ๆ นี้ จะไปใส่อากาศจากบริเวณที่มีความดันไอกลูงไปสู่ความดันไอน้ำ ต่อ อัตราการเคลื่อนที่นี้ขึ้นกับแฟคเตอร์การต้านทานต่อการการแพร่ซึ่งมีลักษณะคล้ายค่าสภาพการนำของวัตถุ ดังนั้นการแพร่ของไอน้ำจะเกิดจากความแตกต่างของความดันไอน้ำ ความชื้นอาจจะเคลื่อนที่โดยการแพร่ของไอน้ำผ่านอาหารที่เป็นของแข็งได้ ทราบเท่าที่มีความแตกต่างของอุณหภูมิ การระเหยและการแพร่ของไอน้ำจะเกิดขึ้นในอาหารที่เป็นของแข็ง โดยอาหารนั้นได้รับความร้อนข้างหนึ่งและเกิดการระเหยอีกข้างหนึ่ง นอกจากนี้ยังมีการแพร่ของเหลวที่ดูดซับอยู่ที่ผิวอาหาร ซึ่งการแพร่แบบนี้เรียกว่าการแพร่โดยการกระตุน จะเกิดขึ้นเมื่ออาหารมีความชื้นค่อนข้างต่ำ (เพนลีย์ ธรรมรัตน์วิสาสิก, 2529 ข้างโดย ชาญชัย วงศ์, 2547)

จากการศึกษาข้างต้นกล่าวได้ว่าความดันมีความสำคัญต่อการแพร่ของเหลวหรือความชื้นภายในอาหารในลักษณะไอน้ำ และการแพร่ของความชื้นมากน้อยมีผลต่อการแพร่ของเหลวที่ดูดซับที่ผิวอาหาร ดังนั้นในการทดสอบอาหารภายใต้สภาวะสุญญากาศซึ่งมีการเปลี่ยนแปลงของความดันไอน้ำและการเปลี่ยนแปลงของกระบวนการทoxidation ทั้งได้ผลิตภัณฑ์ออกมานั้น

ความดันเจ็งน่าจะมีผลต่อการถ่ายโอนมวลสาร อันได้แก่ การถ่ายโอนมวลของน้ำออกจากอาหาร และการถ่ายโอนมวลของน้ำมันที่ผิวของอาหารเข้าสู่อาหาร

ภาพประกอบที่ 3-17 แสดงการเบรียบเทียบปริมาณน้ำมันระหว่างการทำด้วยไฟฟ้าและสูญญากาศและการทำด้วยไฟฟ้าและสูญญากาศ พบร่วมกันที่เดาหัวปลารที่ได้จากการทดสอบด้วยไฟฟ้าและสูญญากาศมีปริมาณน้ำมันเพิ่มขึ้นอย่างรวดเร็วมากในช่วงเวลา 30 วินาทีแรกของการทดสอบ และมีปริมาณน้ำมันลดลงเล็กน้อยเมื่อเวลาผ่านไปจนกระทั่งสิ้นสุดการทำด้วยไฟฟ้าที่ผลิตภัณฑ์เดาหัวปลารที่ได้จากการทดสอบด้วยไฟฟ้าและสูญญากาศมีลักษณะการเปลี่ยนไปของปริมาณน้ำมันในผลิตภัณฑ์แตกต่างไปโดยมีการเพิ่มสูงขึ้นอย่างรวดเร็วในช่วงแรกของการทดสอบยังคงค่อยๆ เพิ่มไปจนกระทั่งสิ้นสุดการทำด้วย ผลิตภัณฑ์เดาหัวปลารที่ได้จากการทดสอบด้วยไฟฟ้าและสูญญากาศซึ่งมีปริมาณน้ำมันหลังจากผ่านการทำด้วยไฟฟ้าและสูญญากาศเพิ่มขึ้นอย่างรวดเร็วในช่วงแรกของการทดสอบและลดลงอย่างต่อเนื่องในช่วงท้ายของการทดสอบ



ภาพประกอบที่ 3-17 กราฟแสดงปริมาณน้ำมันในการหยอดภายในตัวส่วนห้องน้ำ (120 องศาเซลเซียส 60 เซนติเมตรปั๊วห้องน้ำ) เปรียบเทียบกับการหยอดภายในตัวส่วนห้องน้ำ (165 องศาเซลเซียส ความดันบรรยายกาศ)

ผลของความดันและ crust ซึ่งเกิดขึ้นในขณะทำการหยอดน้ำ เป็นผลให้ปริมาณน้ำมันที่ในผลิตภัณฑ์ที่หอด่วยได้สภาวะสูญญากาศและผลิตภัณฑ์ที่หอด่วยได้สภาวะบรรยายการแตก

ต่างกัน จากกราฟปริมาณน้ำมันของผลิตภัณฑ์ที่ทดสอบได้สภาวะสุญญาการเมื่อทำการทดสอบผ่านไป 30 วินาที ผลิตภัณฑ์จะมีปริมาณน้ำมันในเวลาในการทดสอบต่อมาจะเริ่มลดลง แสดงให้เห็นว่าหลังทำการทดสอบผ่านไป 30 วินาทีนั้น ผลิตภัณฑ์เต้าหู้ปลาเริ่มจะเกิด crust ขึ้น ปรากฏการณ์ดังกล่าวจะทำให้รูพรุนของชิ้นอาหารมีขนาดเล็กลง ประกอบกับการทดสอบโดยได้สภาวะสุญญาการเป็นการทดสอบโดยได้ความดันต่ำ ซึ่งผลต่างของความดันระหว่างความดันภายในในผลิตภัณฑ์เต้าหู้ปลาและความดันภายในของผลิตภัณฑ์เต้าหู้ปลาหรือความดันภายในเครื่องทดสอบนั้นมีความต่างกันน้อย ส่งผลให้แรงขับดันที่จะขับดันน้ำมันเข้าสู่ผลิตภัณฑ์มีค่าต่ำ ทำให้ปริมาณน้ำมันที่ได้จากการทดสอบที่ทดสอบโดยได้สภาวะสุญญาการมีค่าต่ำ ในขณะที่การทดสอบโดยได้สภาวะบรรยายกาศนั้นก็มีการเกิด crust ได้เช่นกัน หากแต่แรงขับดันนี้เนื่องจากผลต่างของความดันระหว่างความดันภายในในผลิตภัณฑ์เต้าหู้ปลาและความดันภายในของผลิตภัณฑ์เต้าหู้ปลาหรือความดันภายในเครื่องทดสอบนั้นมีค่ามากกว่า ปริมาณน้ำมันของผลิตภัณฑ์หลังจากการทดสอบผ่านไป 150 วินาที จึงมีค่าสูงกว่าการทดสอบโดยได้สภาวะสุญญาการ

เป็นเรื่องยากและมีความซับซ้อนอย่างมากที่จะอธิบายถึงการดูดซึมน้ำมันที่ผิวของผลิตภัณฑ์เข้าสู่ภายในผลิตภัณฑ์นั้น เกิดจากการควบคุมของการแพร่ (diffusion control) โดยตรงและแรงขับดันนี้เนื่องมาจาก การเปลี่ยนแปลงความดันมีผลต่อการดูดซึมน้ำมัน เนื่องจากยังไม่มีสมการสนับสนุนทฤษฎีดังกล่าวข้างต้นโดยตรง หากแต่เราทราบว่ามีปัจจัยหลายประการที่มีผลต่อสัมประสิทธิ์การแพร่ (diffusivity, D) ตามกฎของฟิคทิกล่าวไป เช่น อุณหภูมิ ความชื้นสัมพันธ์ ความเร็วของลม เนื่องจากการถ่ายโอนความร้อนและการถ่ายโอนมวลของผลิตภัณฑ์มีความสัมพันธ์กัน (Simultaneous Heat and Mass Transfer) ปัจจัยที่มีผลต่อค่าการนำความร้อน เช่น อุณหภูมิ ความดัน และลักษณะทางธรรมชาติของอาหาร อันได้แก่ โครงสร้างเซลล์ ปริมาณօกาศ ระหว่างเซลล์ และปริมาณความชื้น จึงมีอิทธิพลต่อการแพร่เช่นกัน ดังนั้นความดันซึ่งมีผลต่อการเปลี่ยนแปลงอุณหภูมิของน้ำและน้ำมัน และมีผลถึงคุณสมบัติอื่น ๆ ของน้ำและน้ำมัน จึงมีอิทธิพลต่อสัมประสิทธิ์การแพร่และการแพร่ของน้ำและน้ำมัน

5. การวิเคราะห์คุณภาพน้ำมัน

การศึกษาคุณภาพของน้ำมันนั้น สามารถตรวจสอบการเปลี่ยนแปลงคุณภาพน้ำมัน ที่ผ่านกระบวนการทอดได้หลายแบบทั้งทางกายภาพและทางเคมี วิธีการตรวจสอบทางกายภาพที่ใช้กันทั่วไปคือ การตรวจสอบสี และจุดครวัน (Stevenson, et al., 1984 ข้างโดย ชูติมา และดาวา รัตน์, 2544) ส่วนในการทดสอบทางเคมีนิยมตรวจสอบ กรดไขมันอิสระ (Free fatty acids, FFA), ค่าเปอร์ออกไซด์ (Peroxide value, PV) และค่า Thiobarbaturic Acid (Thiobarbaturic acid, TBA) (ชูติมา และดาวา รัตน์, 2544) ในการทำการศึกษาวิจัยนี้ได้ยึดถือการตรวจสอบคุณภาพน้ำมันโดยอ้างอิงจากตัวแปรหลักเฉพาะที่ทางโรงงานผู้ให้การสนับสนุนสนใจเป็นหลัก ได้แก่ สี และค่าเปอร์ออกไซด์ โดยมีการตรวจสอบกรดไขมันอิสระ และค่า Thiobarbaturic Acid เป็นตัวแปรเสริมเพื่อประกอบและยืนยันความเป็นไปได้ของผลการทำลอง

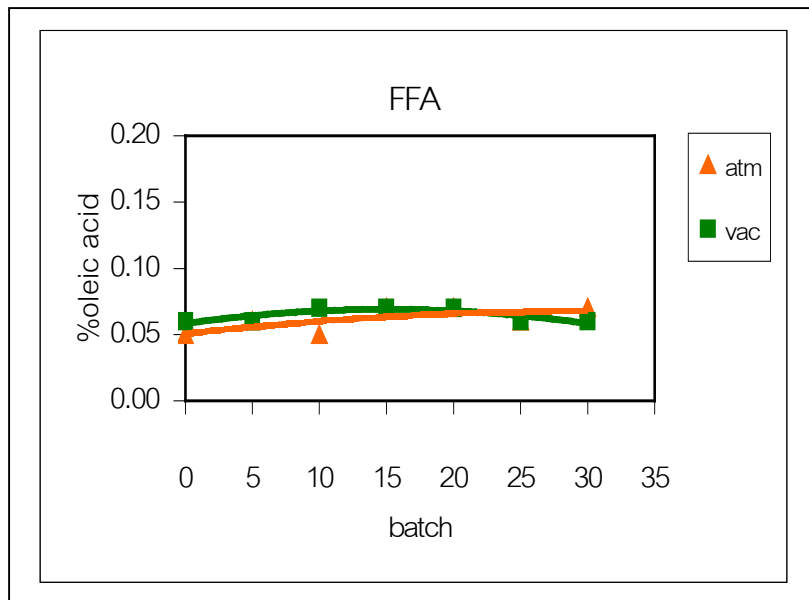
การวิเคราะห์ปริมาณกรดไขมันอิสระเป็นการวัดการย่อยสลายตัวยาน้ำของไขมันและน้ำมันโดยเป็นปริมาณร้อยละของกรดไขมันอิสระที่อาจคำนวณในรูปของกรดโอลิอิกหรือกรดดูอิน ๆ (เสาวลักษณ์, 2534) โดยความชื้น เวลาและคุณหมุนเป็นตัวทำให้น้ำมันเกิดกรดไขมันอิสระดังกล่าวจากปฏิกิริยา catalyzing triglyceride hydrolysis (Hamilton, 2002) เป็นที่ยอมรับกันโดยทั่วไปว่าสารที่เกิดปฏิกิริยาออกซิเดชันตัวแรกคือ ไฮโดรเปอร์ออกไซด์ (ชูติมา และดาวา รัตน์, 2544; Kim and Shin, 2001) ดังนั้นการวิเคราะห์ค่าเปอร์ออกไซด์นั้น จึงเป็นการวัดเฉพาะค่าเปอร์ออกไซด์ที่เกิดขึ้นในช่วงแรกของการเกิดปฏิกิริยาออกซิเดชัน (Hamilton, 2002; Kim and Shin, 2001) หลังจากเกิดการออกซิเดชันโดยที่ค่าที่ได้จะมีอัตราเพิ่มขึ้นเรื่อย ๆ จนถึงจุดสมดุล (equilibrium) จากนั้น เปอร์ออกไซด์จะเปลี่ยนไปเป็น อัลดีไฮด์ (aldehydes) และคีโตน (ketones) ซึ่งเป็นผลิตภัณฑ์อันดับสอง (secondary products) ต่อไป (ชูติมา และดาวา รัตน์, 2544; Hamilton, 2002) การวัดค่าผลิตภัณฑ์อันดับสอง ได้แก่ อัลดีไฮด์และคีโตนนั้น คือ การวิเคราะห์ค่า Thiobarbaturic Acid (Hamilton, 2002)



ภาพประกอบที่ 3-18 ภาพแสดงตัวอย่างน้ำมันที่ผ่าน การทดสอบภายใต้สภาวะสูญญากาศ (น้ำมันที่ยังไม่ผ่านการทดสอบ, น้ำมันที่ผ่านการทดสอบแล้ว, น้ำมันที่ผ่านการทดสอบแล้ว 5 ครั้ง, น้ำมันที่ผ่านการทดสอบแล้ว 10 ครั้ง, น้ำมันที่ผ่านการทดสอบแล้ว 15 ครั้ง, น้ำมันที่ผ่านการทดสอบแล้ว 20 ครั้ง, น้ำมันที่ผ่านการทดสอบแล้ว 25 ครั้ง, น้ำมันที่ผ่านการทดสอบแล้ว 30 ครั้ง เรียงลำดับจากซ้ายไปขวา)



ภาพประกอบที่ 3-19 ภาพแสดงตัวอย่างน้ำมันที่ผ่าน การทดสอบภายใต้สภาวะบรรยายกาศ (น้ำมันที่ยังไม่ผ่านการทดสอบ, น้ำมันที่ผ่านการทดสอบแล้ว, น้ำมันที่ผ่านการทดสอบแล้ว 5 ครั้ง, น้ำมันที่ผ่านการทดสอบแล้ว 10 ครั้ง, น้ำมันที่ผ่านการทดสอบแล้ว 15 ครั้ง, น้ำมันที่ผ่านการทดสอบแล้ว 20 ครั้ง, น้ำมันที่ผ่านการทดสอบแล้ว 25 ครั้ง, น้ำมันที่ผ่านการทดสอบแล้ว 30 ครั้ง เรียงลำดับจากซ้ายไปขวา)



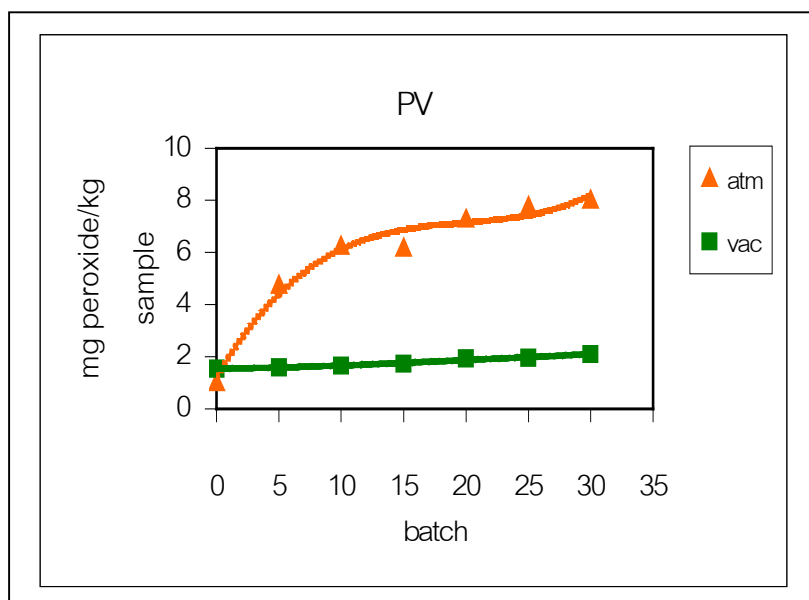
ภาพประกอบที่ 3-20 กราฟแสดงค่ากรดไขมันอิสระในการทอดภายใต้สภาวะสูญญากาศ (120 องศาเซลเซียส ความดัน 60 เซนติเมตรปอนด์สูญญากาศ) เปรียบเทียบกับการทอดภายใต้สภาวะบรรยากาศ

เปรียบเทียบการสือมสภาพน้ำมันถั่วเหลืองที่ใช้ในการทอด โดยการวัดปริมาณของกรดไขมันอิสระ, ค่าเบอร์ออกไซด์, ค่ากรดไทโอบาบิโทวิก และสี ภายหลังจากการผ่านการใช้งานในการทอดผลิตภัณฑ์เต้าหู้ปลา ครั้งละ 8 ชิ้น คิดเป็นน้ำหนักประมาณ 160-200 กรัม จำนวน 30 ครั้ง ในการทอดในแต่สภาวะ รวมน้ำหนักผลิตภัณฑ์เต้าหู้ปลาที่ใช้ทั้งสิ้นต่อสภาวะการทอดประมาณ 10 กิโลกรัม และใช้เวลาในการทอดผลิตภัณฑ์เต้าหู้ปลาต่อครั้งเท่ากัน คือ 150 วินาที ทั้งการทอดภายใต้สภาวะสูญญากาศและสภาวะบรรยากาศ รวมเวลาการทอดทั้งหมด 30 ครั้ง ประมาณ 3 ชั่วโมงต่อการทดลองทอดแต่ละสภาวะ

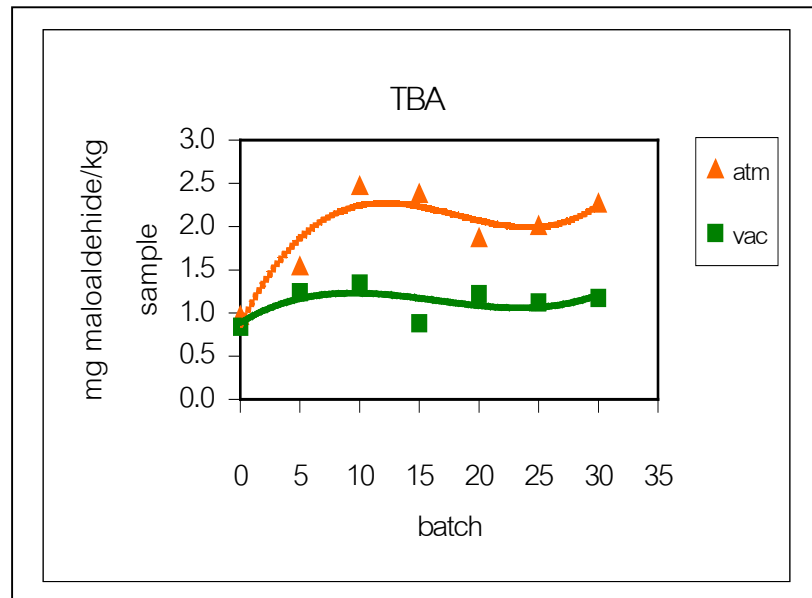
จากการทดลองทั้งการทอดภายใต้สภาวะการทอดสูญญากาศและการทอดภายใต้สภาวะบรรยากาศและการทอดภายใต้สภาวะบรรยากาศ พบว่า น้ำมันที่ใช้ในการทอดภายใต้สภาวะบรรยากาศและการทอดภายใต้สภาวะสูญญากาศไม่มีการเปลี่ยนแปลงของปริมาณของกรดไขมันอิสระอย่างมีนัยสำคัญ หลังจากการทอด 30 ครั้ง เนื่องจาก การทอด จำนวน 30 ครั้ง ซึ่งใช้เวลาในการทอดไปเพียง 3 ชั่วโมงนั้นสั้นเกินไป จากการทดลองทอด Tortilla Dough โดยใช้น้ำมันถั่วเหลือง (Moreira, R.G., Castell-Perez, M.E., 1999) พบว่า ที่ Degradation Time ผ่านไป 10 ชั่วโมง เปอร์เซ็นต์ของ FFA ของน้ำมันถั่วเหลืองที่ใช้ในการทอด Tortilla Dough เปลี่ยนจาก 0.03

เปอร์เซ็นต์กรดโคลอิก ที่ค่าเริ่มต้นที่ Degradation Time เริ่มต้น ไปเป็น 0.05 เปอร์เซ็นต์กรดโคลอิก เท่านั้น

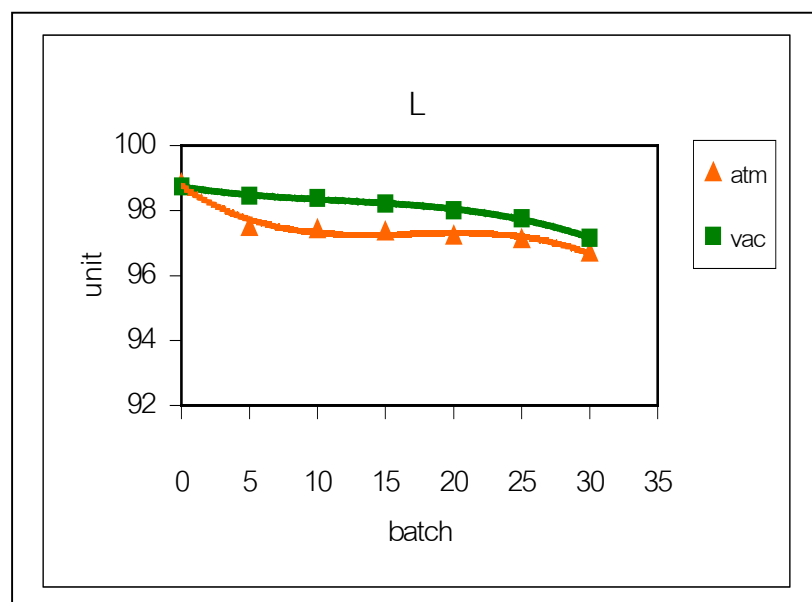
เปรียบเทียบกับการทดสอบภายใต้สภาวะบรรยายกาศ จากภาพประกอบที่ 3-21 และภาพประกอบที่ 3-22 น้ำมันที่ใช้ในการทดสอบภายใต้สภาวะสุญญากาศมีค่าเปอร์เซ็นต์และค่ากรดไทโอบาบิทอริกต่างกว่าน้ำมันที่ใช้ในการทดสอบภายใต้สภาวะบรรยายกาศ หลังจากทำการทดสอบ 30 ครั้ง ค่าเปอร์เซ็นต์และค่ากรดไทโอบาบิทอริกที่ต่างกว่าเป็นอีกปัจจัยที่บ่งบอกว่าน้ำมันที่ผ่านการใช้งานในการทดสอบภายใต้สภาวะสุญญากาศยังมีคุณภาพดีกว่าน้ำมันที่ผ่านการใช้งานในการทดสอบภายใต้สภาวะบรรยายกาศ เมื่อผ่านการใช้งานในการทดสอบผลิตภัณฑ์เต้าหู้ปลาไป 30 ครั้งเท่ากัน แต่ค่าเปอร์เซ็นต์ที่วัดได้นั้น ทั้งจากน้ำมันที่ผ่านการทดสอบผลิตภัณฑ์เต้าหู้ปลาภายใต้สภาวะสุญญากาศและการทดสอบภายใต้สภาวะบรรยายกาศนั้น ยังมีค่าไม่เกิน 10 มิลลิกรัมสมมูลเปอร์เซ็นต์ออกซิเจนต่อน้ำมันหนึ่งกิโลกรัม (ดูแปลงจาก มอก.176, 2519) ซึ่งยังถือว่าน้ำมันดังกล่าวสามารถใช้งานในการทดสอบต่อไปได้อีกระยะหนึ่ง



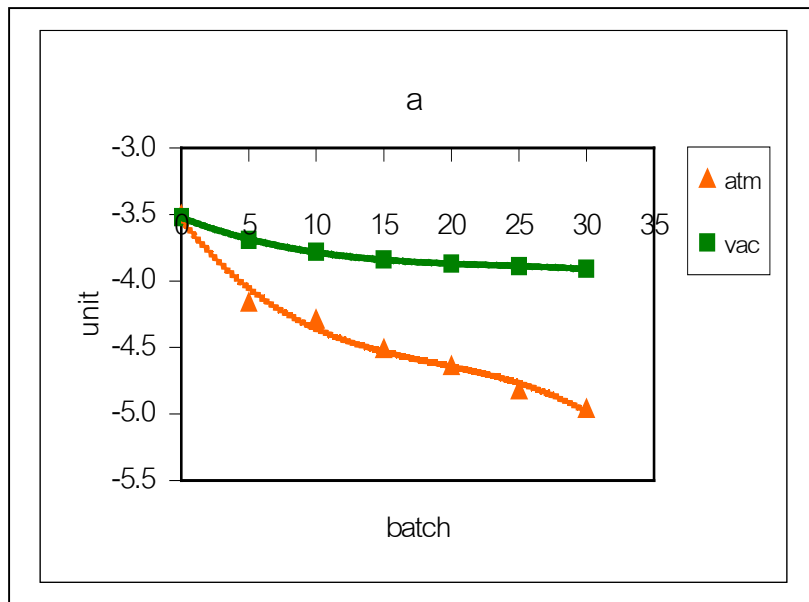
ภาพประกอบที่ 3-21 กราฟแสดงค่าเปอร์เซ็นต์ในการทดสอบภายใต้สภาวะสุญญากาศ (120 องศาเซลเซียส ความดัน 60 เชนติเมตรปรอทสุญญากาศ) เปรียบเทียบกับการทดสอบภายใต้สภาวะบรรยายกาศ



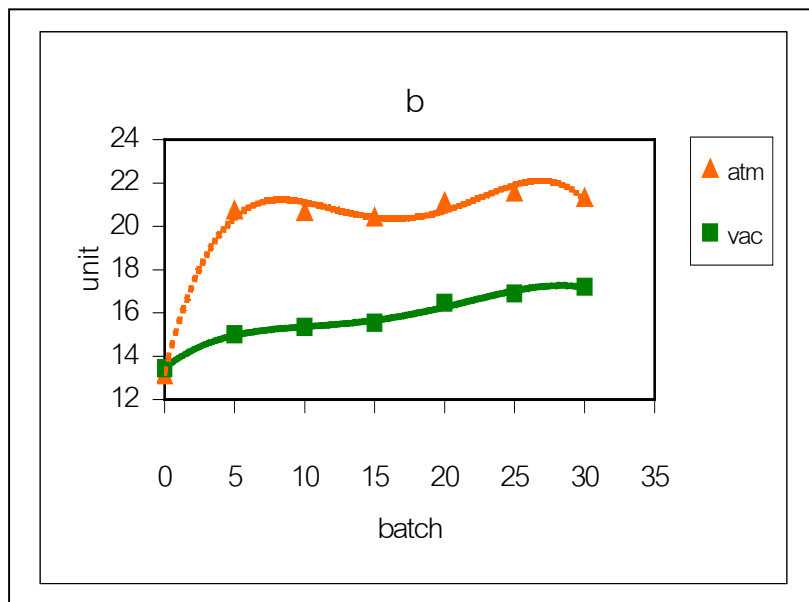
ภาพประกอบที่ 3-22 กราฟแสดงค่า Thiobarbituric Acid ในกราฟทดสอบความคงทนของสี (120 องศาเซลเซียส ความดัน 60 เซนติเมตรปอนด์สุญญากาศ)



ภาพประกอบที่ 3-23 กราฟแสดงค่า Color Index L (Lightness) ในกราฟทดสอบความคงทนของสี (120 องศาเซลเซียส ความดัน 60 เซนติเมตรปอนด์สุญญากาศ) เปรียบเทียบกับการทดสอบความคงทนของสีในบรรยากาศ

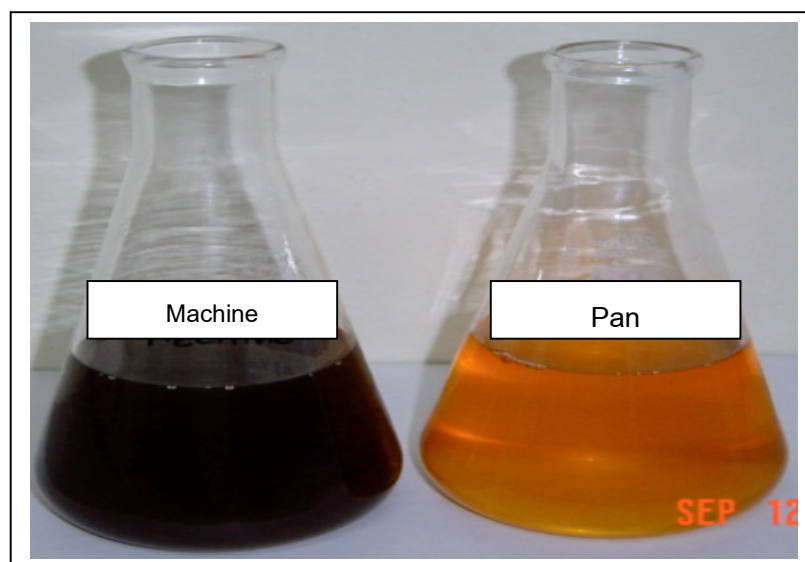


ภาพประกอบที่ 3-24 กราฟแสดงค่า Color Index a (Green-red Chromaticity) ในการทดสอบภายใต้สภาวะสุญญากาศ (120 องศาเซลเซียส ความดัน 60 เซนติเมตรปืนสูญญากาศ) เปรียบเทียบกับการทดสอบภายใต้สภาวะบรรยายกาศ



ภาพประกอบที่ 3-25 กราฟแสดงค่า Color Index b (Blue-yellow Chromaticity) ในการทดสอบภายใต้สภาวะสุญญากาศ (120 องศาเซลเซียส ความดัน 60 เซนติเมตรปืนสูญญากาศ) เปรียบเทียบกับการทดสอบภายใต้สภาวะบรรยายกาศ

น้ำมันที่ใช้ในการทดสอบภายใต้สภาวะสุญญาการค่า L (Lightness) และค่า a (Green-red Chromaticity) สูงกว่าและมีค่า b (Blue-yellow Chromaticity) ต่ำกว่าน้ำมันที่ใช้ในการทดสอบภายใต้สภาวะบรรยายกาศ หลังจากทำการทดสอบ 30 ครั้ง แสดงว่าสีของน้ำมันที่ใช้ในการทดสอบภายใต้สภาวะสุญญาการค่าสูงกว่าน้ำมันที่ใช้ในการทดสอบภายใต้สภาวะบรรยายกาศ เมื่อใช้ทดสอบผลิตภัณฑ์ปริมาณเท่ากันในจำนวนครั้งที่เท่ากัน การสังเกตค่าสีที่เปลี่ยนแปลงไปนั้นเป็นวิธีที่ง่ายและสะดวก การวัดคุณภาพค่าสีของน้ำมันที่ใช้ในการทดสอบดังกล่าวเนี้ยเป็นวิธีการหลักที่ทางโรงงานใช้เป็นตัวบ่งชี้ถึงคุณภาพน้ำมันที่เปลี่ยนไป นอกจากนี้จากการวัดค่าเบอร์ออกไซด์ซึ่งต้องมีค่าไม่เกินและเป็นไปตามมาตรฐานอุตสาหกรรมกำหนดไว้ เนื่องจากสีของน้ำมันที่เปลี่ยนไปจะมีผลต่อคุณภาพของผลิตภัณฑ์ที่ใช้ทดสอบเป็นอย่างมากทั้งในด้านสีสันของผลิตภัณฑ์ รวมถึงกลิ่นและรสชาติของผลิตภัณฑ์ด้วย ดังนั้นสีของน้ำมันที่ใช้ในการทดสอบจะเป็นตัวกำหนดความเข้มสีของผลิตภัณฑ์เต้าหู้ปลาที่ใช้ในการทดลองได้ด้วย จึงเป็นสาเหตุหนึ่งที่ทำให้ผลิตภัณฑ์เต้าหู้ปลาที่ทดสอบภายใต้การทดลองทั้งการทดสอบภายใต้สภาวะสุญญาการและการทดสอบภายใต้สภาวะบรรยายการค่าสีสัน ขึ้นกว่าผลิตภัณฑ์เต้าหู้ปลาที่ทดสอบจากโรงงาน ดังนั้นการทดสอบในสภาวะการทดสอบสุญญาการสามารถที่จะลดค่าใช้จ่ายโดยการยืดอายุการใช้งานของน้ำมันที่ใช้ในการทดสอบได้ อันเนื่องมาจากการน้ำมันที่ใช้ในการทดสอบภายใต้สภาวะสุญญาการค้นพบให้ค่าเบอร์ออกไซด์และค่ากรดไทโอบาบีทอเริกที่ต่ำกว่าและมีค่าสีสีสูงกว่าน้ำมันที่ใช้ในการทดสอบภายใต้สภาวะบรรยายการค่าเมื่อใช้ทดสอบผลิตภัณฑ์เต้าหู้ปลา ผ่านไปจำนวน 30 ครั้ง ในปริมาณผลิตภัณฑ์ที่ใช้ต่อครั้งเท่ากัน



ภาพประกอบที่ 3-26 ภาพแสดงตัวอย่างน้ำมันที่ผ่านการทดสอบภายใต้สภาวะบรรยายการ จากการทดสอบด้วยเครื่องทดสอบแบบต่อเนื่อง และการทดสอบแบบกะยะจากโรงงาน เรียงลำดับจากซ้ายไปขวา

ตัวอย่างน้ำมันที่ผ่านการทดสอบด้วยเครื่องทดสอบแบบต่อเนื่อง เป็นตัวอย่างน้ำมันที่ผ่านการทดสอบผลิตภัณฑ์เต้าหู้ปลามาแล้วเป็นเวลา 3 วัน โดยผ่านการใช้งานที่อุณหภูมน้ำมันที่ใช้ในการทดสอบ 180 องศาเซลเซียส เป็นเวลาประมาณ 8 ชั่วโมงต่อวัน และมีการเติมน้ำมันใหม่สมก่อนการทดสอบในวันต่อไป ตัวอย่างน้ำมันที่ผ่านการทดสอบด้วยกระทะ เป็นตัวอย่างน้ำมันที่ผ่านการทดสอบผลิตภัณฑ์เต้าหู้ปลามาแล้ว 1 วัน หรือ ประมาณ 8 ชั่วโมง โดยผ่านการใช้งานที่อุณหภูมิ 165 องศาเซลเซียส อย่างต่อเนื่องตลอดวัน และพร้อมที่จะผสมน้ำมันใหม่เพื่อใช้ในการทดสอบวันต่อไป ตารางที่ 3-5 ตารางแสดงคุณภาพน้ำมันเบรย์บเทียบระหว่างน้ำมันก่อนการใช้งาน, น้ำมันที่ผ่านการทดสอบด้วยเครื่องทดสอบแบบต่อเนื่อง และน้ำมันที่ผ่านการทดสอบด้วยกระทะ

Composition	Fresh Oil	Machine	Pan
FFA (%oleic acid)	0.047	0.054	0.392
PV (mg peroxide / kg sample)	1.97	14.53	7.84
TBA (mg malonaldehyde / kg sample)	0.11	0.78	1.02
Color Index L (unit)	97.06	85.13	43.72
Color Index a (unit)	-5.14	-0.46	22.70
Color Index b (unit)	20.27	42.01	28.47

ในภาพประกอบที่ 3-26 แสดงตัวอย่างน้ำมันที่ผ่านการใช้งานจากโรงงาน พบว่า ค่าสีที่ได้จากน้ำมันที่ผ่านการใช้งานจากโรงงานทั้งการทดสอบแบบเครื่องทดสอบแบบต่อเนื่องและการทดสอบแบบกระหานนั้นมีสีเข้มมาก และมากกว่าค่าสีที่ได้จากน้ำมันที่ได้จากการทดสอบของมาก เนื่องจากระยะเวลาในการใช้งานนานกว่าและปริมาณผลิตภัณฑ์ที่ใช้ในการทดสอบทั้งหมดมากกว่าการทดสอบภายในรากไม้ แต่จากการตรวจที่ 3-5 พบว่าค่ากรดไขมันอิสระ และค่ากรดไฮโอบาบิทอกริกที่ได้จากน้ำมันที่ผ่านการใช้งานด้วยเครื่องทดสอบแบบต่อเนื่องนั้นมีค่าต่ำมาก เพียง 0.054 เปอร์เซ็นต์กรดไฮโลอิก และ 0.78 มิลลิกรัม maloaldehyde ต่อกิโลกรัมตัวอย่าง แสดงให้เห็นว่า การเติมน้ำมันลงในปุ่มสมสามารถช่วยลดปริมาณกรดไขมันอิสระและค่ากรดไฮโอบาบิทอกริกที่เปลี่ยนไปได้ ในขณะที่ค่าสี และค่าเปอร์ออกไซด์นั้นอยู่ในเกณฑ์ที่สูง โดยเฉพาะค่าเปอร์ออกไซด์นั้นเกินที่มาตรฐานอุตสาหกรรมได้กำหนดไว้ด้วย ในขณะที่น้ำมันที่ผ่านการทดสอบจากโรงงานในแบบกระหานนั้นมีค่าของกรดไขมันอิสระสูงถึง 0.392 เปอร์เซ็นต์กรดไฮโลอิก ค่าเปอร์ออกไซด์และค่ากรดไฮโอบาบิทอกริกอยู่ในระดับสูงถึง 7.84 มิลลิกรัมเปอร์ออกไซด์ต่อกิโลกรัมตัวอย่าง และ

1.02 มิลลิกรัม maloaldehyde ต่อกิโลกรัมตัวอย่าง หากแต่ค่าเปอร์ออกไซด์และค่ากรดไทโอบาบิทอริกน่าจะมีค่าสูงกว่านี้ เนื่องจากค่าเปอร์ออกไซด์และค่ากรดไทโอบาบิทอริกที่ได้จากการทดสอบภายใต้สภาวะบรรยายกาศในการทดลองซึ่งมีปริมาณผลิตภัณฑ์ที่ใช้ทดสอบน้อยกว่า จำนวนครั้งในการทดสอบน้อยกว่าและเวลารวมตลอดการใช้งานน้อยกว่ากราฟทดสอบจากโรงงานนั้นให้ค่า 8.03 มิลลิกรัมเปอร์ออกไซด์ต่อกิโลกรัมตัวอย่าง และ 2.27 มิลลิกรัม maloaldehyde ต่อกิโลกรัมตัวอย่าง ซึ่งที่เป็นเช่นนี้น่าจะเกิดจากการระเหยได้ของสารตั้งต้นในการหาค่าเปอร์ออกไซด์และค่ากรดไทโอบาบิทอริกในระหว่างการทดสอบทั้งวันก่อนการเก็บตัวอย่างภายหลังเสร็จสิ้นการทดสอบเนื่องจากระบบที่ใช้ในการทดสอบเป็นแบบหีบซึ่งอยู่ในลักษณะของระบบเปิดมีการแลกเปลี่ยนมวลและพลังงานกับสิ่งแวดล้อมได้ โดยค่าเปอร์ออกไซด์และค่ากรดไทโอบาบิทอริกที่ได้จากการทดสอบแบบต่อเนื่องที่ได้จากการทำงานก็อาจเป็นเช่นเดียวกัน

6. การประยัดพลังงาน

เบรี่ยบเที่ยบพลังงานที่ใช้และเปอร์เซ็นต์การประยัดพลังงานของการทดสอบผลิตภัณฑ์เต้าหู้ปลาภายใต้สภาวะบรรยายกาศกับการทดสอบผลิตภัณฑ์เต้าหู้ปลาภายใต้สภาวะสุญญากาศโดยการคำนวณพลังงานที่ใช้ของระบบ ได้แก่

Heat Oil Initial คือ พลังงานที่ใช้ในการเพิ่มอุณหภูมน้ำมันที่ใช้ในการทดสอบจากอุณหภูมิห้องสู่อุณหภูมิที่กำหนด

Heat Oil Again คือ พลังงานที่ใช้ในการเพิ่มอุณหภูมน้ำมันที่ใช้ในการทดสอบสู่อุณหภูมิที่กำหนดอีกครั้งหลังจากใส่ผลิตภัณฑ์ลงไป

Heat of Vaporization คือ พลังงานที่ใช้ในการเปลี่ยนสภาวะของน้ำในผลิตภัณฑ์จากสภาวะของเหลวเป็นสภาวะไอ

Energy of Vacuum Pump คือ พลังงานที่ปั๊มสุญญากาศใช้ในการดูดอากาศเพื่อรักษาความดันของระบบ

โดยสมการที่ใช้ในการคำนวณพลังงาน Heat Oil Initial, และ Heat Oil Again คือ สมการ

$$Q = mC_p\Delta T \quad (3.6)$$

โดยที่	Q	คือ	พลังงานความร้อน (J)
	m	คือ	มวล (kg)
	C_p	คือ	ค่าความจุความร้อน ($J/kg \text{ } {}^\circ\text{C}$)

ΔT คือ ค่าความต่างของอุณหภูมิ ($^{\circ}\text{C}$)

การคำนวณค่าความชุความร้อนของผลิตภัณฑ์ใช้สมการ

$$\text{Cp} = 1.675 + 0.025w_c \quad (3.7)$$

โดยที่ w_c = water content (%)

Heat of Vaporization คือ ค่าความร้อนแห้งของการกลาญเป็นไอของน้ำ

สมการที่ใช้ในการคำนวณ คือ สมการ

$$Q_{\text{vap}} = m\lambda \quad (3.8)$$

โดยที่ Q_{vap} คือ พลังงานความร้อนแห้งของการกลาญเป็นไอ (J)

m คือ มวลของน้ำ (kg)

λ คือ ค่าความร้อนแห้งของน้ำ (J/kg)

สมการที่ใช้ในการคำนวณพลังงาน Energy of Vacuum Pump คือ สมการ

$$W = Pt \quad (3.9)$$

โดยที่ W_{work} คือ งาน (J)

P คือ กำลัง (W)

t คือ เวลา (s)

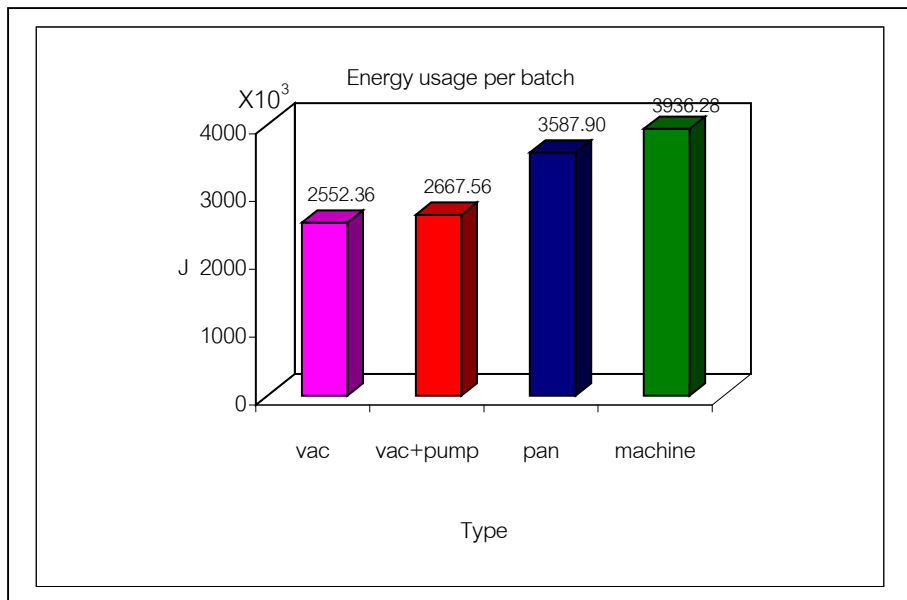
ตารางที่ 3-6 ตารางแสดงค่าคงที่ที่ใช้ในการคำนวณพลังงาน

ค่าคงที่	สัญลักษณ์	ค่า	ที่มา
มวลของน้ำมัน	m-oil	11.03 kg	คำนวณใช้ในการทดลอง
มวลของผลิตภัณฑ์	m-product	0.16 kg	คำนวณใช้ในการทดลอง
มวลของน้ำในผลิตภัณฑ์	m-water	0.10 kg	ได้จากโรงงาน PFP
ค่าความจุความร้อนของน้ำมัน	Cp-oil	2.11×10^3 J/kg °C	Moreira et al., 1999.
ค่าความจุความร้อนของผลิตภัณฑ์	Cp-product	3.30×10^3 J/kg °C	$Cp = 1.675 + 0.025w_c$
ค่าความจุความร้อนของน้ำ	Cp-water	4.18×10^3 J/kg °C	Thermodynamics, 2002
ค่าความร้อนแฝงของน้ำที่บรรยายกาศ	hfg-water atm (λ_{atm})	2257×10^3 J/kg	Thermodynamics, 2545
ค่าความร้อนแฝงของน้ำที่	hfg-water vac (λ_{vac})	2355.18×10^3 J/kg	Thermodynamics, 2545
สูญเสียกาศ			
ความชื้นละลายน้ำของผลิตภัณฑ์	w _c	65%	ค่าที่ได้จากการทดลอง
ปริมาณน้ำมันที่ใช้ในการทดลอง	oil	12 L	กำหนดใช้ในการทดลอง
ปริมาณผลิตภัณฑ์ที่ใช้ทดลองต่อครั้ง	product	160 g	กำหนดใช้ในการทดลอง
ปริมาณผลิตภัณฑ์ที่ได้จากการทดลอง	kg/day/pan	500 kg	ได้จากโรงงาน PFP
แบบกระยะต่อวัน			
ปริมาณผลิตภัณฑ์ที่ได้จากการเครื่อง			
ทดลองแบบต่อเนื่องต่อวัน	kg/day/machine	2000 kg	ได้จากโรงงาน PFP

ตารางที่ 3-7 ตารางแสดงผลลัพธ์ที่ใช้ในแต่ละระบบ เปรียบเทียบระหว่างการทอดภายในได้สภาวะสุญญากาศ และสภาวะบخارยากาศ

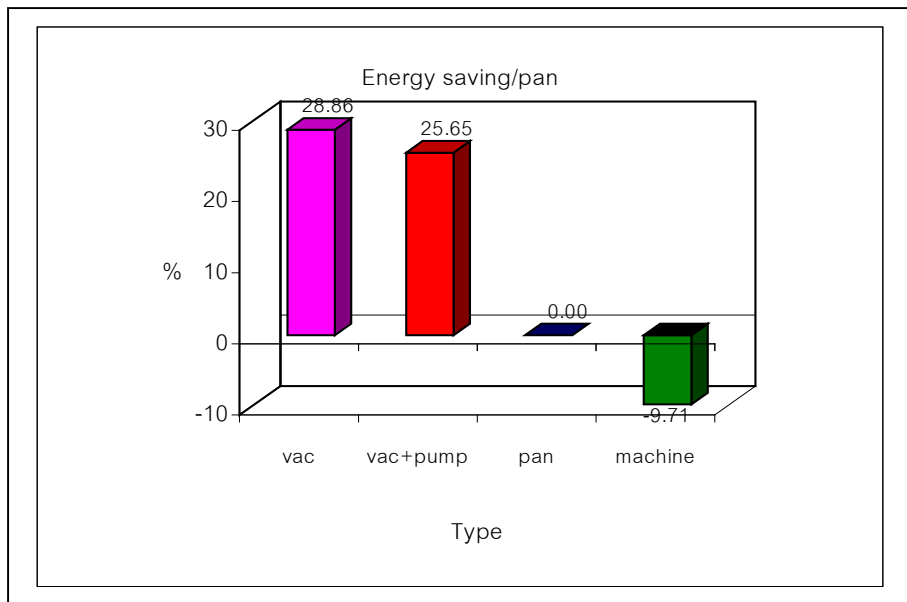
Typical	Vacuum		Atmospheric	
	No Pump	Pump	Pan	Machine
Oil Temperature (°C)	120	120	165	180
Frying Time (s)	240	240	150	40
Heat Oil Initial ($\times 10^3$ J)	2090.25	2090.25	3135.37	3483.75
Heat Oil Again ($\times 10^3$ J)	232.25	232.25	232.25	232.25
Heat of Vaporization ($\times 10^3$ J)	229.87	229.87	220.28	220.28
Energy of Vacuum pump ($\times 10^3$ J)	0.00	115.20	0.00	0.00
Energy Usage per batch ($\times 10^3$ J)	2552.36	2667.56	3587.90	3936.28
Energy Saving/Pan (%)	28.86	25.56	0.00	-9.71
Energy Saving/Machine(%)	35.16	32.23	8.85	0.00

ภายใต้การคำนวณตามสมการดังกล่าวและค่าคงที่ที่ใช้ดังตารางที่ 3-6 พบร่ว่าดังตารางที่ 3-7 ซึ่งแสดงผลการคำนวณดังกล่าวด้วยโปรแกรม Microsoft Excel 97 พบร่ว่าเมื่อเปรียบเทียบ การประหัดพลังงานของการทอดภายในได้สภาวะสุญญากาศในระบบที่มีการใช้ปั๊มสุญญากาศและระบบที่มีปั๊มสุญญากาศ การทอดภายในได้สภาวะบخارยากาศในการทอดด้วยกระทะ และการทอดด้วยเครื่องทอดแบบต่อเนื่อง สามารถแสดงค่าพลังงานที่ใช้ในการทอดต่อครั้งได้ดังตาราง และสามารถแสดงค่าการประหัดพลังงานของการทอดแต่ละแบบเทียบกับการทอดโดยใช้กระทะ และการทอดโดยใช้เครื่องทอดแบบต่อเนื่องได้ ในการคำนวณนี้จะใช้เวลาการทอดในการคำนวณระหว่างการทอดภายในได้สภาวะสุญญากาศและการทอดภายในได้สภาวะบخارยากาศทั้งแบบกระทะ และเครื่องทอดแบบต่อเนื่องต่างกัน คือ 240, 150 และ 40 วินาที ตามลำดับ ทั้งนี้เนื่องจากในการทอดภายในได้สภาวะสุญญากาศจำเป็นต้องมีการพักเพื่อสะเด็จน้ำมันก่อนการปรับความดันสู่บخارยากาศปกติ จึงต้องรวมเวลาการทำงานในช่วงเวลาดังกล่าวเข้าไปด้วย และจากการคำนวณพบว่าสามารถประหัดพลังงานที่ใช้ได้มากกว่าการทอดภายในได้สภาวะบخارยากาศถึง 25.65 เปอร์เซ็นต์

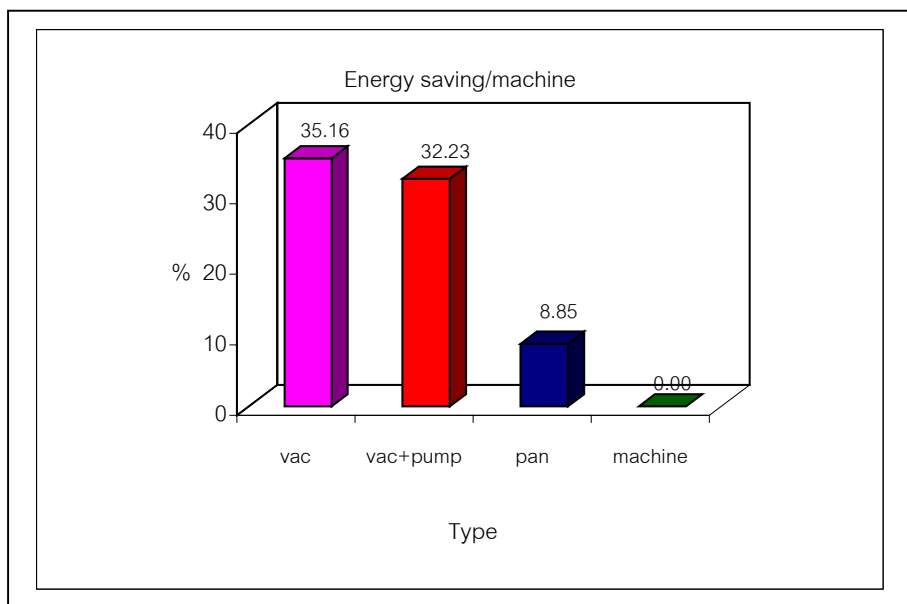


ภาพประกอบที่ 3-27 กราฟแสดงพลังงานที่ใช้ต่อครั้งการหดแต่ละแบบ

ภาพประกอบที่ 3-27 เปรียบเทียบการใช้พลังงานในการหดต่อครั้งของการหดภายใน ได้สภาวะสุญญากาศในระบบที่ไม่มีการใช้ปั๊มสุญญากาศ การหดภายใน ได้สภาวะสุญญากาศใน ระบบที่มีปั๊มสุญญากาศ การหดภายใน ได้สภาวะบรรยายกาศด้วยกระแทะ และการหดภายใน ได้ สภาวะบรรยายกาศด้วยเครื่องหดแบบต่อเนื่อง พบร่วงการหดภายใน ได้สภาวะบรรยายกาศด้วยเครื่อง หดแบบต่อเนื่อง มีการใช้พลังงานในการหดผลิตภัณฑ์ต่อครั้งสูงที่สุด 3936.28 กิโลจูล ขณะที่ การหดภายใน ได้สภาวะสุญญากาศในระบบที่ไม่มีการใช้ปั๊มสุญญากาศ การหดภายใน ได้สภาวะ สุญญากาศในระบบที่มีปั๊มสุญญากาศ และการหดภายใน ได้สภาวะบรรยายกาศด้วยกระแทะ ใช้พลัง งานไป 2552.36, 2667.56 และ 3587.90 กิโลจูล ตามลำดับ ดังนั้นการหดภายใน ได้สภาวะ สุญญากาศทั้งสองแบบดังกล่าวจึงมีการใช้พลังงานในการหดต่อครั้งน้อยกว่าการหดภายใน ได้ สภาวะบรรยายกาศทั้งแบบหดด้วยกระแทะและหดด้วยเครื่องหดแบบต่อเนื่อง



ภาพประกอบที่ 3-28 กราฟแสดงการประหยัดพลังงานในการหยอดแต่ละแบบต่อการหยอดภายใต้สภาวะบรรยายกาศโดยใช้กระทะ



ภาพประกอบที่ 3-29 กราฟแสดงการประหยัดพลังงานในการหยอดแต่ละแบบต่อการหยอดภายใต้สภาวะบรรยายกาศโดยใช้เครื่องหยอดแบบต่อเนื่อง

ภาพประกอบที่ 3-28 แสดงการเปรียบเทียบการประยัดพลังงานในการทดสอบต่อครั้งของการทดสอบภายใต้สภาวะสุญญาการในระบบที่ไม่มีการใช้ปั๊มสุญญาการ การทดสอบภายใต้สภาวะสุญญาการในระบบที่มีปั๊มสุญญาการ และการทดสอบภายใต้สภาวะบรรยายการด้วยเครื่องทดสอบแบบต่อเนื่อง เปรียบเทียบกับการทดสอบภายใต้สภาวะบรรยายการด้วยกระแทะ และจากภาพประกอบที่ 3-29 เปรียบเทียบการประยัดพลังงานในการทดสอบต่อครั้งของการทดสอบภายใต้สภาวะสุญญาการในระบบที่ไม่มีการใช้ปั๊มสุญญาการ การทดสอบภายใต้สภาวะสุญญาการในระบบที่มีปั๊มสุญญาการ และการทดสอบภายใต้สภาวะบรรยายการด้วยกระแทะเปรียบเทียบกับการทดสอบภายใต้สภาวะบรรยายการด้วยเครื่องทดสอบแบบต่อเนื่อง พบว่าการทดสอบภายใต้สภาวะสุญญาการสามารถประยัดพลังงานได้ถึง 32.23 เปอร์เซ็นต์ เมื่อเปรียบเทียบกับการทดสอบภายใต้สภาวะบรรยายการด้วยกระแทะ และสามารถประยัดพลังงานได้ถึง 25.65 เปอร์เซ็นต์ เมื่อเปรียบเทียบกับการทดสอบภายใต้สภาวะบรรยายการด้วยเครื่องทดสอบแบบต่อเนื่อง แสดงให้เห็นว่าการทดสอบภายใต้สภาวะสุญญาการสามารถประยัดพลังงานที่ใช้ในการทดสอบต่อครั้งได้มากกว่าการทดสอบภายใต้สภาวะบรรยายการ

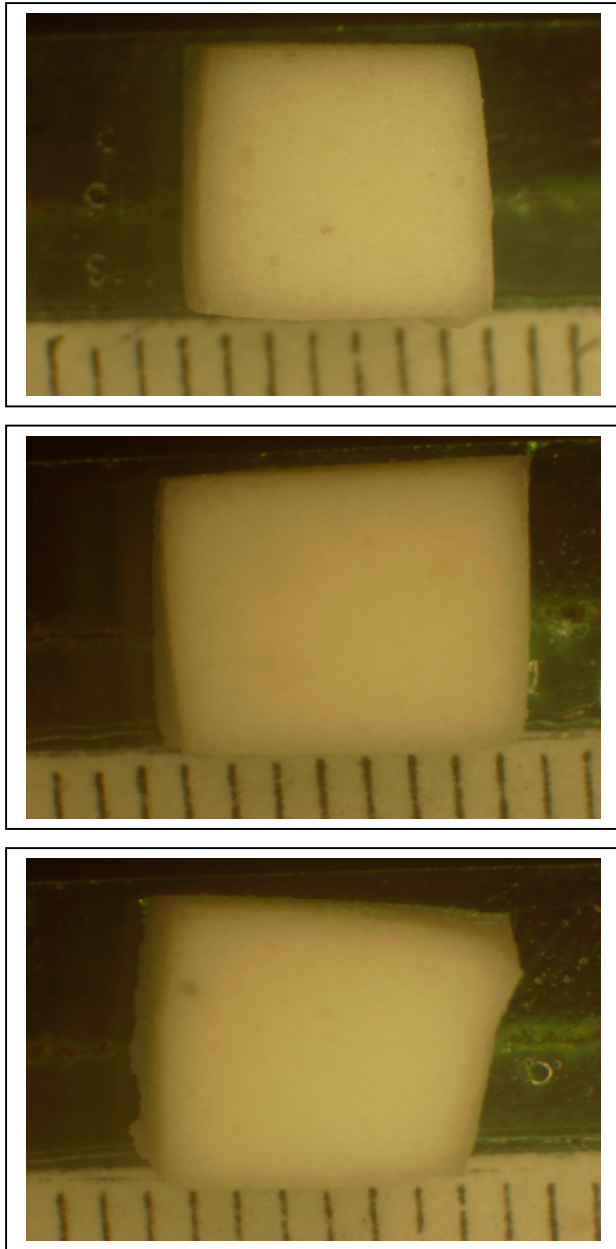
7. โครงสร้างของผลิตภัณฑ์เต้าหู้ปลา

ทำการถ่ายภาพของผลิตภัณฑ์เต้าหู้ปลา ก่อนทดสอบ ผลิตภัณฑ์เต้าหู้ปลา หลังทดสอบภายใต้สภาวะบรรยายการ และผลิตภัณฑ์เต้าหู้ปลา หลังทดสอบภายใต้สภาวะสุญญาการ ด้วยกล้องสเตอโริโค (Stereo Microscope) กำลังขยาย 7 เท่า และกล้องจุลทรรศน์อิเล็กตรอน (Scanning Electron Microscope) กำลังขยาย 75 เท่า จากภาพถ่ายด้วยกล้องสเตอโริโคของผลิตภัณฑ์เต้าหู้ปลา พบว่า ผลิตภัณฑ์เต้าหู้ปลา ก่อนทดสอบ มีสีขาวและรูปrun ลักษณะกลม滚动ทั่วทั้งชิ้น ผลิตภัณฑ์เต้าหู้ปลา หลังการทดสอบภายใต้สภาวะบรรยายการ จะมีชั้นผิวนัง (Crust) สีเหลืองเกิดขึ้นที่บริเวณขอบด้านบน และด้านล่าง และมีรูปrun ทั่วทั้งชิ้น โดยรูปrun ทั่วไป มีลักษณะเป็นวงรี ผลิตภัณฑ์เต้าหู้ปลา หลังการทดสอบภายใต้สภาวะสุญญาการ จะมีชั้นผิวนัง สีเหลือง อ่อนกว่า ผลิตภัณฑ์เต้าหู้ปลา ที่ทดสอบภายใต้สภาวะบรรยายการ และมีรูปrun ลักษณะกลม滚动ทั่วทั้งชิ้น ดังแสดงในภาพประกอบที่ 3-30, ภาพประกอบที่ 3-31 และภาพประกอบที่ 3-32

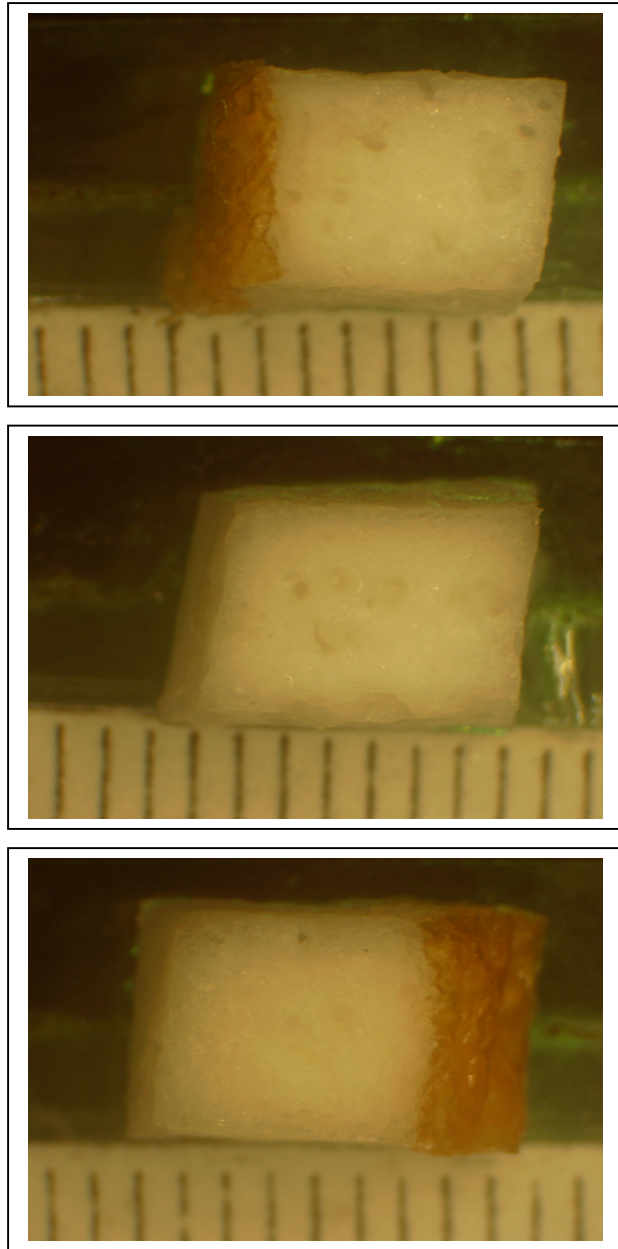
รูปrun ที่เปลี่ยนแปลงไปของผลิตภัณฑ์เต้าหู้ปลา ที่ทดสอบภายใต้สภาวะบรรยายการ น่าจะเป็นผลเนื่องจากอุณหภูมิ น้ำมัน ที่ใช้ในการทดสอบสูง ซึ่งนำจะมีผลต่อการทำลายโครงสร้างโปรตีนของผลิตภัณฑ์เต้าหู้ปลา และความดันบรรยายการ เนื่องจาก เมื่อขณะทำการถ่ายโคนความร้อน จากน้ำมัน ที่ใช้ทดสอบสูง ผลิตภัณฑ์เต้าหู้ปลา และสูง ความซึ้งภายในอาหารนั้น จะทำให้ความซึ้งภายในอาหารเปลี่ยนแปลงสถานะจากสถานะของเหลวกลายเป็นไอ และขยายตัวอยู่ภายในในช่องว่าง

หรือรูปนุ่มภายในอาหาร แรงดันภายในที่เกิดจากแรงดันไอที่เพิ่มขึ้นนั้นจะพยายามขับดันผนังรูปนุ่ม ของอาหารให้ขยายตัว หากแต่แรงดันภายนอกที่สูงกว่าแรงดันภายในของผลิตภัณฑ์เด้าหู้ปลาในขณะทำการทดสอบภายในได้สภาวะบรรยายกาศ จะสร้างความต้านทานให้เกิดแก่ขั้นผิวนอกของผลิตภัณฑ์เด้าหู้ปลาในขณะที่ทำการทดสอบ จึงส่งผลให้เกิดการเปลี่ยนแปลงรูปร่างไปของผลิตภัณฑ์เด้าหู้ปลา ในขณะที่การทดสอบภายในได้สภาวะสุญญากาศนั้นคุณหมูมันที่ใช้ในการทดสอบ แรงดันไอของความชื้นที่เปลี่ยนสถานะ และแรงดันภายนอกต่ำกว่าในการทดสอบภายในได้สภาวะบรรยายกาศ นอก จากนี้ความแตกต่างกันของแรงดันภายนอกและแรงดันภายในในระหว่างการทดสอบภายในได้สภาวะบรรยายกาศก็มีค่าน้อยกว่าความแตกต่างของแรงดันภายนอกและแรงดันภายนอกและแรงดันภายนอกในระหว่างการทดสอบภายในสภาวะบรรยายกาศด้วย ซึ่งปัจจัยดังกล่าวจะเป็นผลให้ผลิตภัณฑ์ที่ทดสอบภายในได้สภาวะสุญญากาศคงลักษณะทางโครงสร้างของรูปนุ่มภายในได้ดีกว่าการทดสอบภายในได้สภาวะบรรยายกาศ

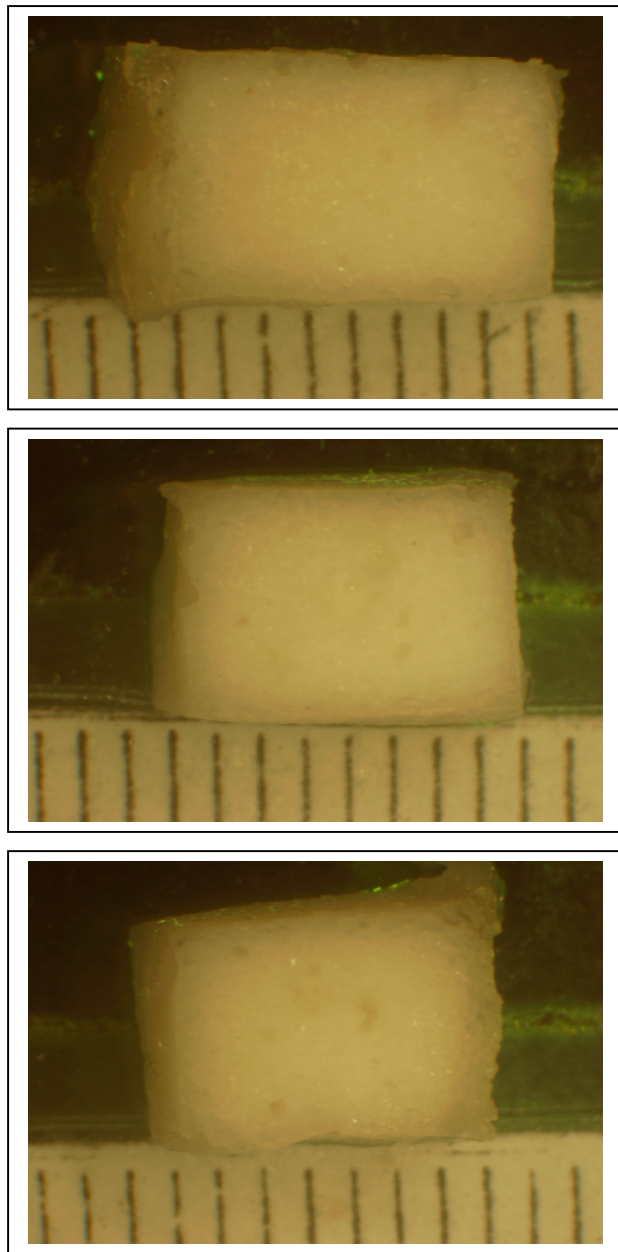
จากการสัมภาษณ์ว่า รู้พูนที่กระจายตัวอยู่ทั่วไปบนชิ้นผลิตภัณฑ์เต้าหู้ปลาภัยหลังการทดสอบทั้งภายในส่วนของบริษัท และภายนอกส่วนของบริษัท สามารถสังเกตเห็นได้่ายมากรึกว่าในชิ้นผลิตภัณฑ์เต้าหู้ปลาภัยก่อนการทดสอบ เนื่องด้วยขนาดรูพูนที่ขยายกว้างขึ้น ซึ่งอาจมีสาเหตุเนื่องมาจากการขยายตัวของผนังรูพูนของผลิตภัณฑ์เต้าหู้ปลาภัยระหว่างดันไอออกของน้ำภายในรูพูน



ภาพประกอบที่ 3-30 ภาพตัดขวางของผลิตภัณฑ์เต้าหู้ปลา ถ่ายด้วยกล้องสเตอโรไก (Stereo Microscope) ก่อนการทดสอบ กำลังขยาย 7 เท่า ส่วนบน, ส่วนกลาง และส่วนล่าง เรียงลำดับจากบนลงล่างตามลำดับ

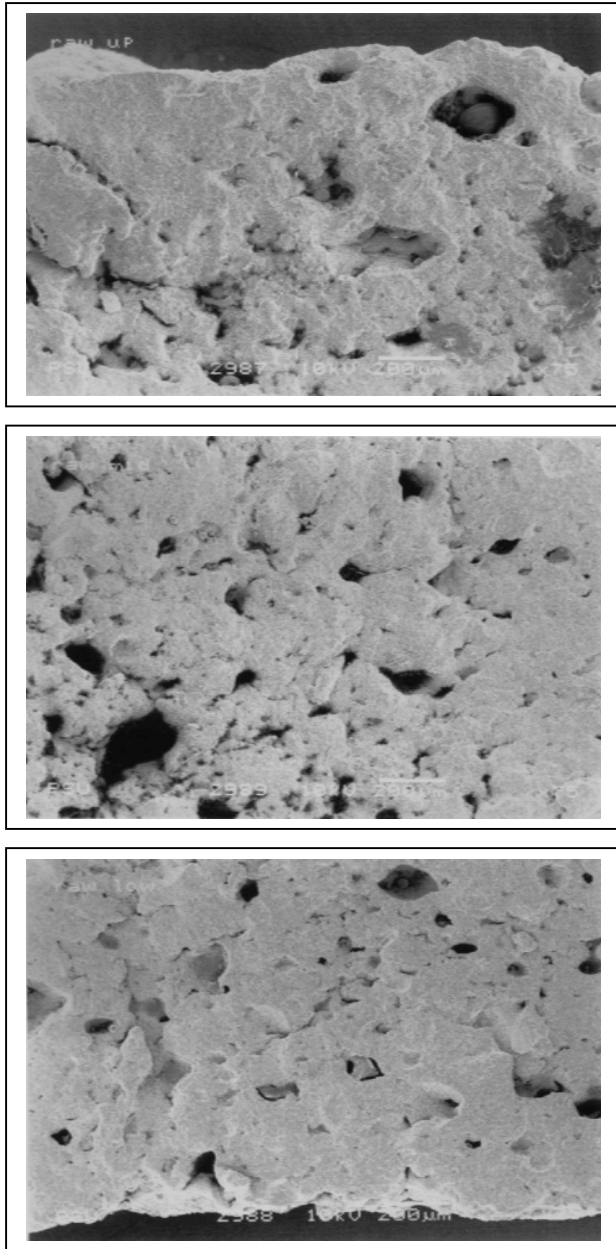


ภาพประกอบที่ 3-31 ภาพตัดขวางของผลิตภัณฑ์เต้าหู้ปลา ถ่ายด้วยกล้องสเตอโรไก (Stereo Microscope) หลังทดสอบภายใต้สภาวะบรรยายกาศ (ความดันบรรยายกาศ อุณหภูมิน้ำมันที่ใช้ในการทดสอบ 165 องศาเซลเซียส) กำลังขยาย 75 เท่า ส่วนบน, ส่วนกลาง และส่วนล่าง เรียงลำดับจากบนลงล่างตามลำดับ

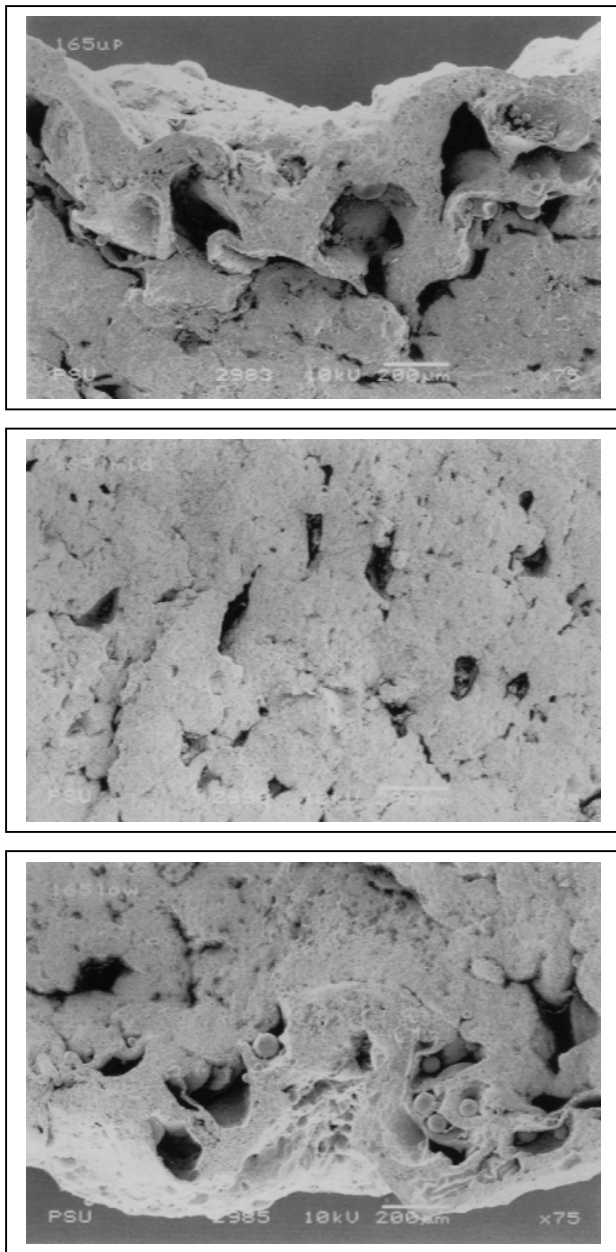


ภาพประกอบที่ 3-32 ภาพตัดขวางของผลิตภัณฑ์เต้าหู้ปลา ถ่ายด้วยกล้อง stereomicroscope (Stereo Microscope) หลังทดสอบภายใต้สภาวะสุญญากาศ (ความดันสุญญากาศ 60 เซนติเมตรปดาท อุณหภูมิน้ำมันที่ใช้ในการทดสอบ 120 องศาเซลเซียส) กำลังขยาย 75 เท่า ส่วนบน, ส่วนกลาง และ ส่วนล่าง เรียงลำดับจากบนลงล่างตามลำดับ

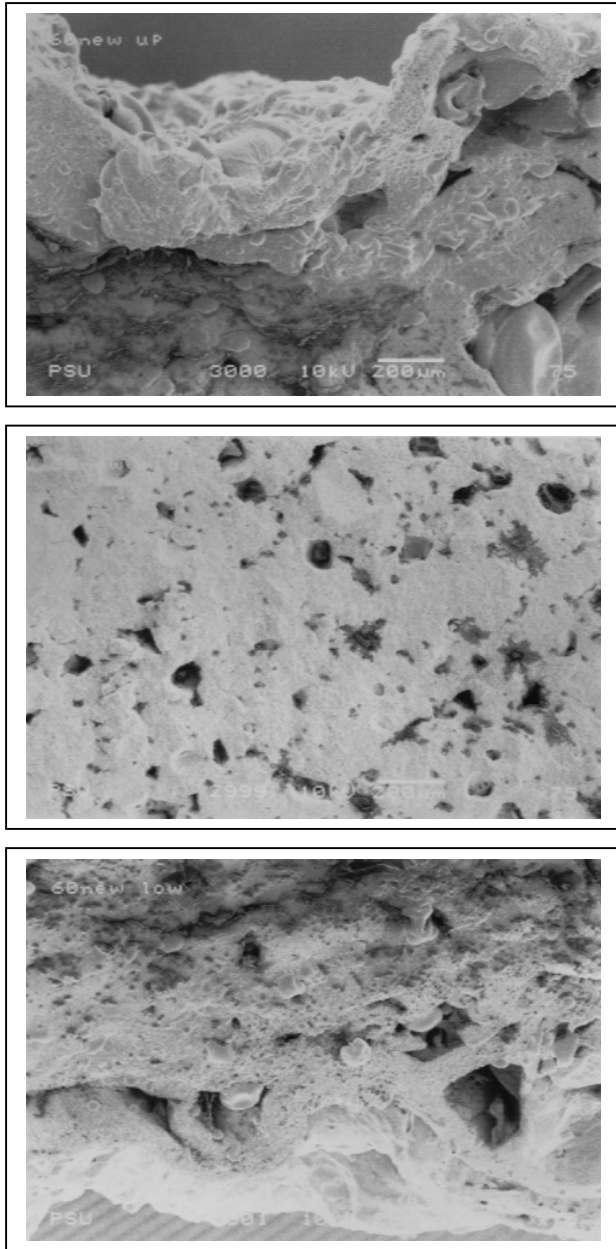
จากภาพถ่ายด้วยกล้องจุลทรรศน์อิเล็กตรอน (Scanning Electron Microscope) กำลังขยาย 75 เท่า ของผลิตภัณฑ์เต้าหู้ปลา ก่อนทดสอบ ผลิตภัณฑ์เต้าหู้ปลาหลังทดสอบภายใต้สภาวะบรรยายกาศ และผลิตภัณฑ์เต้าหู้ปลาหลังทดสอบภายใต้สภาวะสุญญากาศ ดังแสดงในภาพประกอบที่ 3-33, ภาพประกอบที่ 3-34 และภาพประกอบที่ 3-35 พบว่า ผลิตภัณฑ์เต้าหู้ปลา ก่อนทดสอบ มีรูปะนุขนาดใหญ่เล็กกระจาดอยู่ทั่วทั้งชิ้น ผลิตภัณฑ์เต้าหู้ปลาหลังการทดสอบภายใต้สภาวะบรรยายกาศจะมีชั้นผิวนัง (Crust) เกิดขึ้นที่บริเวณขอบด้านบนและด้านล่างแยกชั้นออกจากเนื้อของผลิตภัณฑ์เต้าหู้ปลาอย่างชัดเจน มีรูปะนุลักษณะวงรีและรูติบแอบกระจาดอยู่ทั่วทั้งชิ้น ผลิตภัณฑ์เต้าหู้ปลาหลังการทดสอบภายใต้สภาวะสุญญากาศจะมีชั้นผิวนังทั้งขอบด้านบนและด้านล่างซึ่งผิวนังดังกล่าวมีความชัดเจนของการแยกชั้นออกจากเนื้อผลิตภัณฑ์เต้าหู้ปลา น้อยกว่าผลิตภัณฑ์เต้าหู้ปลาที่ทดสอบภายใต้สภาวะบรรยายกาศ และมีรูปะนุลักษณะกลมคล้ายกับผลิตภัณฑ์เต้าหู้ปลา ก่อนทดสอบมากกว่ากระจาดอยู่ทั่วทั้งชิ้น เป็นเพรware เมื่อขณะทำการทดสอบและหลังการทดสอบเสร็จสิ้นประมาณ 6 วินาที จะเกิดการบรวมตัวของผลิตภัณฑ์เต้าหู้ปลาทั่วทั้งชิ้น อันเนื่องมาจากการกลایเป็นไอของความชื้นภายในผลิตภัณฑ์เต้าหู้ปลา ซึ่งไม่สามารถแพร่ผ่านชั้นผิวนังที่เกิดขึ้น เมื่อบริเวณผิวนังของผลิตภัณฑ์เต้าหู้ปลาได้รับความร้อนได้ ไอน้ำดังกล่าวจะจึงถูกกักอยู่ระหว่างผิวนัง และเนื้อของผลิตภัณฑ์เต้าหู้ปลา แรงดันที่เกิดขึ้นส่งผลทำให้รูปะนุที่กระจาดอยู่ทั่วไปทั้งชิ้นของผลิตภัณฑ์เต้าหู้ปลาถูกบีบให้ตีบแอบลง และทำให้เกิดการแยกชั้นของผิวนังกับเนื้อของผลิตภัณฑ์เต้าหู้ปลาอย่างชัดเจนของผลิตภัณฑ์ที่ทดสอบภายใต้สภาวะบรรยายกาศมากกว่าผลิตภัณฑ์ที่ทดสอบภายใต้สภาวะสุญญากาศ อันเนื่องมาจากการอุณหภูมิที่สูงกว่าของน้ำมันที่ใช้ในการทดสอบซึ่งมีผลต่อแรงดันของไอน้ำดังกล่าว



ภาพประกอบที่ 3-33 ภาพถ่ายด้วยกล้องจุลทรรศน์อิเล็กตรอน (Scanning Electron Microscope) ตัดขวางของผลิตภัณฑ์เตาหัวปลาก่อนการหด กำลังขยาย 75 เท่า ส่วนบน, ส่วนกลาง และส่วนล่าง เรียงลำดับจากบนลงล่างตามลำดับ



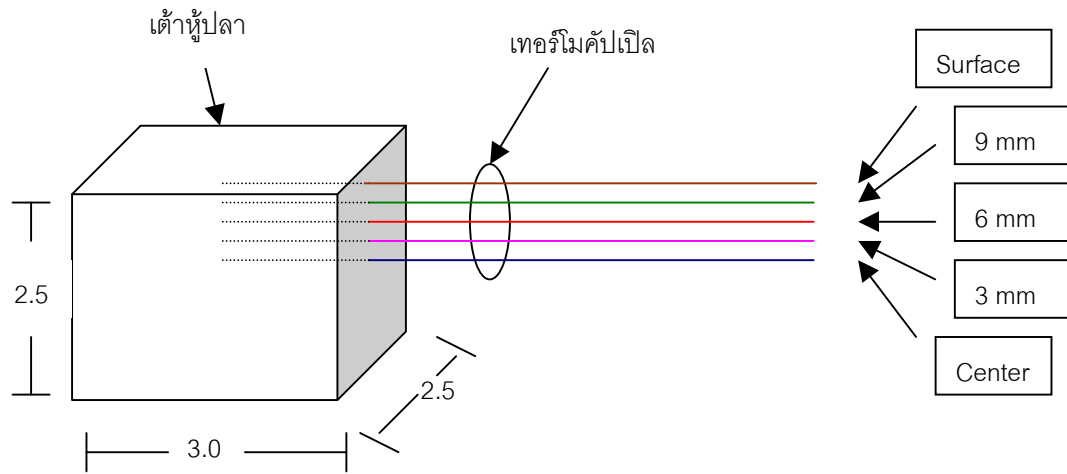
ภาพประกอบที่ 3-34 ภาพถ่ายด้วยกล้องจุลทรรศน์อิเล็กตรอน (Scanning Electron Microscope) ตัดขวางของผลิตภัณฑ์เต้าหู้ปลาสติกทอดภายใต้สภาวะบรรยายกาศ (ความดันบรรยายกาศ อุณหภูมิ室温ที่ใช้ในการทอด 165 องศาเซลเซียส) กำลังขยาย 75 เท่า ส่วนบน, ส่วนกลาง และส่วนล่าง เวียงลำดับจากบนลงล่างตามลำดับ



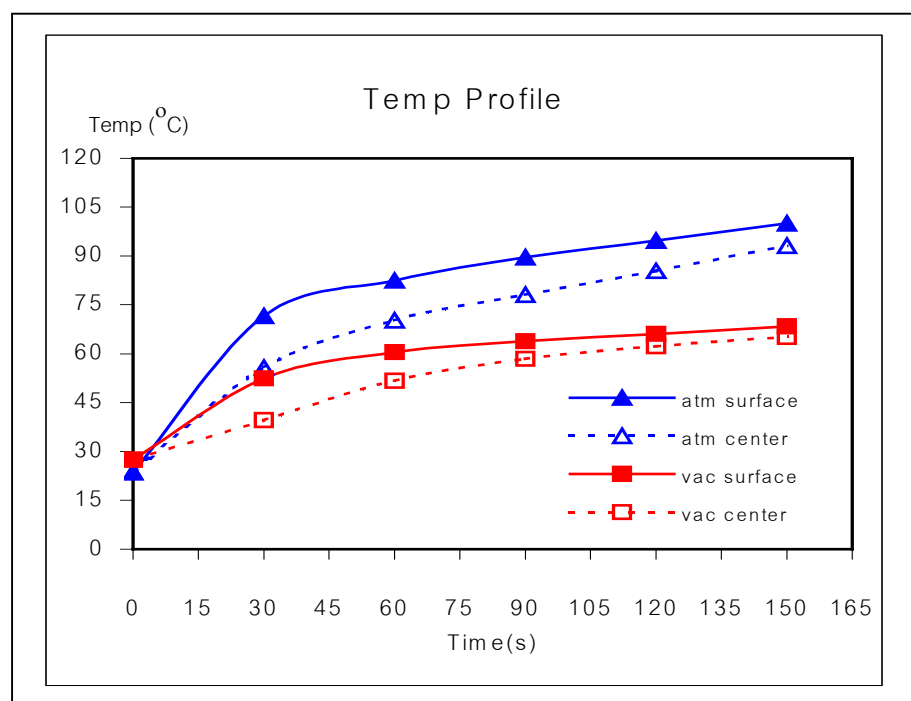
ภาพประกอบที่ 3-35 ภาพถ่ายด้วยกล้องจุลทรรศน์อิเล็กตรอน (Scanning Electron Microscope) ตัดขวางของผลิตภัณฑ์เต้าหู้ปลาหลังทดสอบภายใต้สภาวะสุญญากาศ (ความดันสุญญากาศ 60 เซนติเมตรปรอทคูณหนึ่งในน้ำที่ใช้ในการทดสอบ 120 องศาเซลเซียส) กำลังขยาย 75 เท่า ส่วนบน, ส่วนกลาง และส่วนล่าง เรียงลำดับจากบนลงล่างตามลำดับ

8. การเปลี่ยนแปลงอุณหภูมิภายในและอุณหภูมิที่บริเวณใต้ผิวนังลีกลงไปจากผิวของผลิตภัณฑ์เต้าหู้ปลา 1 มิลลิเมตร ของผลิตภัณฑ์เต้าหู้ปลา

การเปลี่ยนแปลงอุณหภูมิภายในและอุณหภูมิที่บริเวณใต้ผิวนังลีกลงไปจากผิวของผลิตภัณฑ์เต้าหู้ปลา 1 มิลลิเมตรของผลิตภัณฑ์เต้าหู้ปลา จากภาพประกอบที่ 3-37 พบว่ามีการเพิ่มขึ้นของอุณหภูมิที่แกนกลางและบริเวณใต้ผิวนังลีกลงไปจากผิวของผลิตภัณฑ์เต้าหู้ปลา 1 มิลลิเมตร ทั้งที่ทดสอบภายใต้สภาวะสุญญาอากาศและทดสอบภายใต้สภาวะสุญญาอากาศอย่างรวดเร็ว ในช่วง 30 วินาทีแรกของกระบวนการทดสอบ และอัตราการเพิ่มขึ้นจะช้าลงเรื่อยๆ จนกระทั่งสิ้นสุดการทดสอบ การเปลี่ยนแปลงของกราฟอุณหภูมิที่ได้นั้นเป็นไปในทิศทางเดียวกัน คือ มีแนวโน้มการเพิ่มขึ้นทั้งกราฟที่ได้จากอุณหภูมิแกนกลางและอุณหภูมิที่บริเวณใต้ผิวนังลีกลงไปจากผิวของผลิตภัณฑ์เต้าหู้ปลา 1 มิลลิเมตรรวมไปถึงทั้งสภาวะของการทดสอบภายใต้สภาวะสุญญาอากาศและภายใต้สภาวะบรรยากาศ โดยสำหรับการทดสอบภายใต้สภาวะบรรยากาศนั้น อุณหภูมิภายในและอุณหภูมิที่บริเวณใต้ผิวนังลีกลงไปจากผิวของผลิตภัณฑ์เต้าหู้ปลา 1 มิลลิเมตรของผลิตภัณฑ์เต้าหู้ปลา มีค่าสูงกว่าอุณหภูมิภายในและอุณหภูมิที่บริเวณใต้ผิวนังลีกลงไปจากผิวของผลิตภัณฑ์เต้าหู้ปลา 1 มิลลิเมตรของผลิตภัณฑ์เต้าหู้ปลาที่ทดสอบภายใต้สภาวะสุญญาอากาศ อุณหภูมิเริ่มต้นที่บริเวณใต้ผิวนังลีกลงไปจากผิวของผลิตภัณฑ์เต้าหู้ปลา 1 มิลลิเมตรและอุณหภูมิเริ่มต้นที่แกนกลางของผลิตภัณฑ์เต้าหู้ปลา ก่อนทดสอบภายใต้สภาวะสุญญาอากาศอยู่ที่ 27 องศาเซลเซียส อุณหภูมิเริ่มต้นที่บริเวณใต้ผิวนังลีกลงไปจากผิวของผลิตภัณฑ์เต้าหู้ปลา 1 มิลลิเมตรและอุณหภูมิเริ่มต้นที่แกนกลางของผลิตภัณฑ์เต้าหู้ปลาที่ทดสอบภายใต้สภาวะสุญญาอากาศอยู่ที่ 24 องศาเซลเซียส อุณหภูมิสูงสุดที่บริเวณใต้ผิวนังลีกลงไปจากผิวของผลิตภัณฑ์เต้าหู้ปลา 1 มิลลิเมตรและที่แกนกลางของผลิตภัณฑ์เต้าหู้ปลาที่ทดสอบภายใต้สภาวะสุญญาอากาศอยู่ที่ 68 และ 65 องศาเซลเซียส ตามลำดับ อุณหภูมิสูงสุดที่บริเวณใต้ผิวนังลีกลงไปจากผิวของผลิตภัณฑ์เต้าหู้ปลา 1 มิลลิเมตรและที่แกนกลางของผลิตภัณฑ์เต้าหู้ปลาที่ทดสอบภายใต้สภาวะสุญญาอากาศอยู่ที่ 100 และ 93 องศาเซลเซียส ตามลำดับ

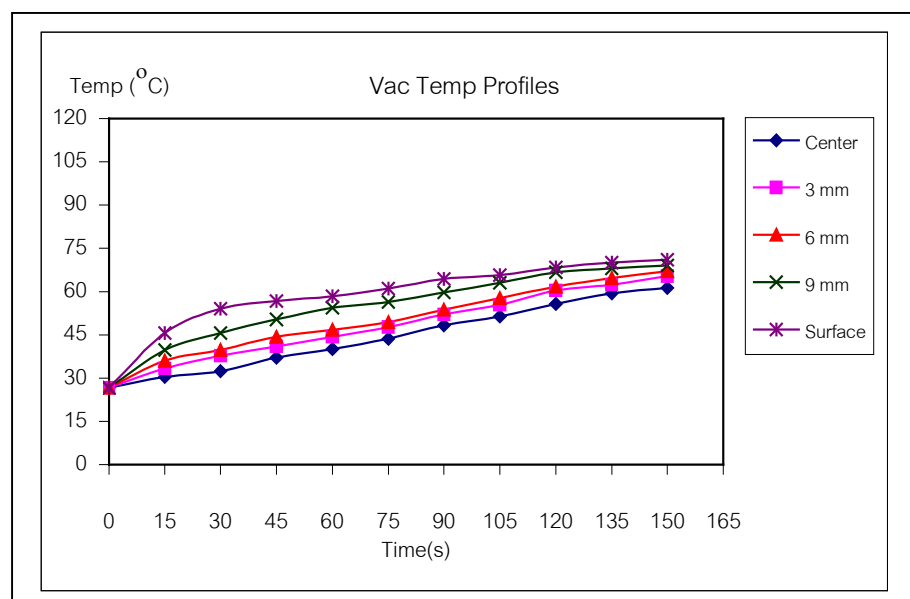


ภาพประกอบที่ 3-36 ภาพแสดงการวัดอุณหภูมิภายในผลิตภัณฑ์เต้าหู้ปลาที่ทำแห้งต่าง ๆ

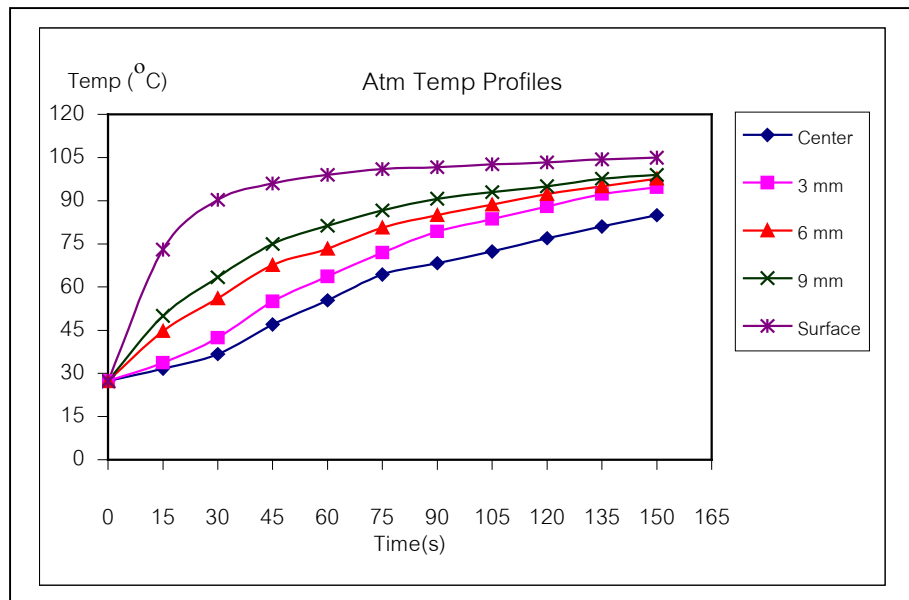


ภาพประกอบที่ 3-37 ภาพแสดงอุณหภูมิที่ผิวและแกนกลางผลิตภัณฑ์เต้าหู้ปลาที่ทดสอบภายใต้สภาวะบรรยายกาศและสภาวะสุญญากาศ

เมื่อทำการวัดค่าอุณหภูมิที่ที่จุดต่าง ๆ ภายในผลิตภัณฑ์เต้าหู้ปลา โดยการแบ่งกำหนดจุดดังกล่าว 5 จุด ซึ่งแบ่งระยะจากผิวนังของผลิตภัณฑ์เต้าหู้ปลาถึงจุดศูนย์กลางของผลิตภัณฑ์เต้าหู้ปลา ได้แก่ จุดที่ nearest คือจุดที่ห่างจากชั้นผิวนังเข้าสู่ศูนย์กลาง 1 มิลลิเมตร จุดที่สองคือจุดที่ห่างจากจุดแรกเข้าสู่ศูนย์กลาง 2.3 มิลลิเมตร จุดที่สามและจุดที่สี่คือจุดที่ห่างจากจุดที่สองและจุดที่สามเข้าสู่ศูนย์กลางตามลำดับ 2.3 มิลลิเมตร และจุดที่ห้าจุดสุดท้ายคือจุดที่ศูนย์กลางชั้นผลิตภัณฑ์เต้าหู้ปลาหรือห่างจากผิวนังของผลิตภัณฑ์เต้าหู้ปลาเข้าสู่ศูนย์กลาง 12.5 มิลลิเมตร โดยทุกจุดอยู่ตามแนวศูนย์กลางผลิตภัณฑ์เต้าหู้ปลา พบว่า การเปลี่ยนแปลงอุณหภูมิที่จุดต่าง ๆ นั้นมีการเพิ่มขึ้นอย่างรวดเร็วในช่วง 30 วินาทีแรกของการทดสอบและค่อย ๆ เพิ่มขึ้นอย่างช้า ๆ จนสิ้นสุดการทดสอบ เช่นเดียวกันทุกจุดทั้งผลิตภัณฑ์ที่ทดสอบภายใต้สภาวะบราวยากาศและผลิตภัณฑ์ที่ทดสอบภายใต้สภาวะสุญญากาศเช่นเดียวกับในการทดลองหากการเปลี่ยนแปลงอุณหภูมิกายในและอุณหภูมิบริเวณให้ผิวนังลึกลงไปจากผิวนังของผลิตภัณฑ์เต้าหู้ปลา 1 มิลลิเมตรของผลิตภัณฑ์เต้าหู้ปลา จากภาพประกอบที่ 3-37 ที่ได้กล่าวไปแล้วนั้น ระดับของอุณหภูมิที่จุดต่าง ๆ ของผลิตภัณฑ์ที่ทดสอบภายใต้สภาวะสุญญากาศนั้น จะมีค่าน้อยกว่าของผลิตภัณฑ์ที่ทดสอบภายใต้สภาวะบราวยากาศเมื่อเปรียบเทียบที่จุดเดียวกัน และมีการเปลี่ยนแปลงเพิ่มขึ้นตามเวลาในการทดสอบทั้งสองสภาวะ ดังแสดงในภาพประกอบที่ 3-38 และภาพประกอบที่ 3-39



ภาพประกอบที่ 3-38 กราฟแสดงอุณหภูมิกายในผลิตภัณฑ์เต้าหู้ปลาที่ทดสอบภายใต้สภาวะสุญญากาศ



ภาพประกอบที่ 3-39 กราฟแสดงอุณหภูมิภายในผลิตภัณฑ์เต้าหู้ปลาที่ทดสอบภายใต้สภาวะบรรยากาศ

จากภาพประกอบที่ 3-38 และภาพประกอบที่ 3-39 พบร่วมกันว่าการเปลี่ยนแปลงอุณหภูมิของผลิตภัณฑ์ในการทดสอบภายใต้สภาวะสุญญาการและทดสอบภายใต้สภาวะบรรยากาศเป็นไปในทิศทางเดียวกัน หากแต่ระดับของอุณหภูมินั้นต่างกัน ดังนั้นแสดงว่าการถ่ายโอนความร้อนของผลิตภัณฑ์เต้าหู้ปลาที่ทดสอบภายใต้สภาวะสุญญาการและที่ทดสอบภายใต้สภาวะบรรยากาศเป็นไปในทิศทางเดียวกัน คงแต่กต่างกันเพียงสภาวะขอบเขต (Boundary Condition) ของอุณหภูมิที่ใช้ในการสร้างแบบจำลองทางคณิตศาสตร์ต่อไป โดยที่สภาวะขอบเขตในการทดสอบภายใต้สภาวะสุญญาการจะมีค่าต่ำกว่าสภาวะขอบเขตที่ใช้ในการทดสอบภายใต้สภาวะบรรยากาศ สภาวะขอบเขตดังกล่าวได้แก่ อุณหภูมน้ำมันที่ใช้ในการทดสอบ และอุณหภูมิเริ่มต้นของผลิตภัณฑ์เต้าหู้ปลา โดยอุณหภูมน้ำมันที่ใช้ในการทดสอบผลิตภัณฑ์ที่ทดสอบภายใต้สภาวะสุญญาการคืนอยู่ที่ 120 องศาเซลเซียส ในขณะที่อุณหภูมน้ำมันที่ใช้ในการทดสอบผลิตภัณฑ์ที่ทดสอบภายใต้สภาวะบรรยากาศนั้นอยู่ที่ 165 องศาเซลเซียส ซึ่งมีความแตกต่างกันมาก หากแต่มีอุณหภูมิเริ่มต้นของผลิตภัณฑ์เต้าหู้ปลาเริ่มต้นก่อนทดสอบใกล้เคียงกัน คือ 26 องศาเซลเซียส สำหรับผลิตภัณฑ์ที่ทดสอบภายใต้สภาวะสุญญาการ และ 27 องศาเซลเซียส สำหรับผลิตภัณฑ์ที่ทดสอบภายใต้สภาวะบรรยากาศ

ในการสร้างแบบจำลองทางคณิตศาสตร์ซึ่งจำเป็นต้องอาศัยข้อมูลการทดลองในส่วนนี้ สามารถคาดการณ์ได้ว่าแบบจำลองทางคณิตศาสตร์ที่ได้ค่าจะมีการกระจายตัวของอุณหภูมิ

ที่เกิดจากการถ่ายโอนความร้อนเป็นระดับชั้นของอุณหภูมิจากสูงสุดที่ผิวของผลิตภัณฑ์เต้าหู้ปลา สู่อุณหภูมิต่ำสุดที่แกนกลางของผลิตภัณฑ์เต้าหู้ปลา และแบบจำลองทางคณิตศาสตร์ที่ได้น่าจะแสดงให้เห็นการกระจายตัวของอุณหภูมิเป็นระดับชั้นได้ดีกว่ากราฟในภาพประกอบที่ 3-39 และภาพประกอบที่ 3-40 ซึ่งจะทำให้การศึกษาต่อไปมีความสะดวกรวดเร็ว และเข้าใจง่ายยิ่งขึ้น

9. การทดสอบการยอมรับผลิตภัณฑ์เต้าหู้ปลาที่ทดสอบภายใต้สภาวะสุญญาอากาศของผู้บริโภค

9.1 ลักษณะทางประชากรศาสตร์ของผู้บริโภค

ลักษณะทางประชากรศาสตร์ของผู้บริโภคที่ใช้ในการทดสอบผลิตภัณฑ์ ซึ่งเป็นบุคคลภายในภาควิชาชีวกรรมเคมี คณะวิชาชีวกรรมศาสตร์ มหาวิทยาลัยสงขลานครินทร์ วิทยาเขตหาดใหญ่ จำนวนในการทดสอบครั้งที่ 1 คือ 41 คน และจำนวนในการทดสอบครั้งที่ 2 คือ 28 คน ผู้บริโภคจำนวนดังกล่าว ส่วนใหญ่เป็นนักศึกษาซึ่งกำลังศึกษาอยู่ในระดับปริญญาตรี บุคลากรภายในภาควิชา รวมไปถึงคณาจารย์ด้วย มีอายุประมาณอยู่ในช่วง 20-57 ปี

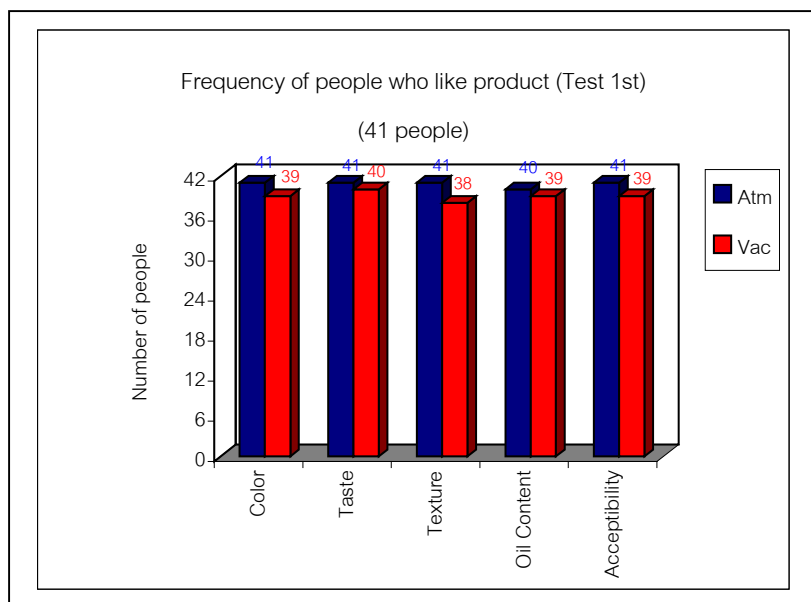
ตารางที่ 3-8 ตารางแสดงเบอร์เซ็นต์เปรียบเทียบลักษณะทางประชากรในการทดสอบชิม ครั้งที่ 1 และครั้งที่ 2

ลักษณะประชากร	เบอร์เซ็นต์	
	การทดสอบครั้งที่ 1	การทดสอบครั้งที่ 2
เพศชาย	63.41	46.23
เพศหญิง	36.59	53.57
นักศึกษา	87.80	100
บุคลากรและอาจารย์	12.20	0
ช่วงอายุ 20-25 ปี	90.24	100
ช่วงอายุมากกว่า 25-57 ปี	9.76	0

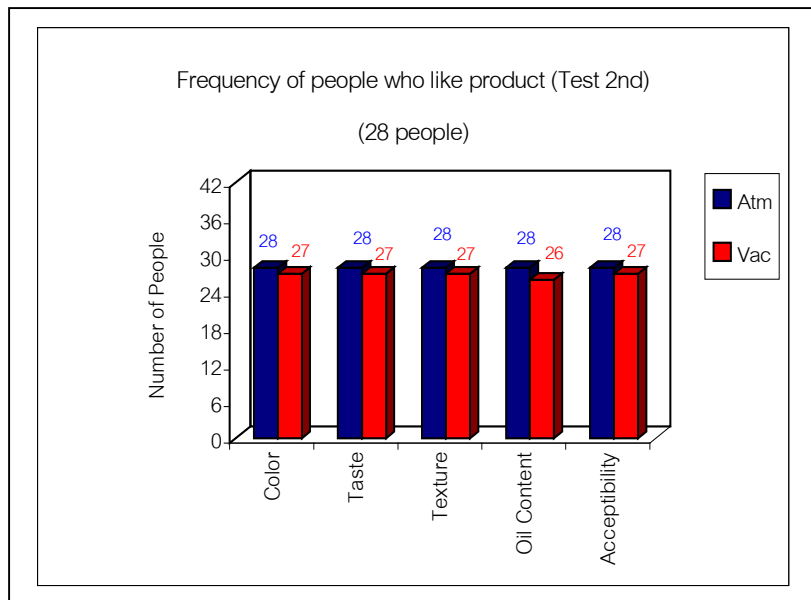
จากการสังเกตพฤติกรรมการรับประทาน พบร่วมกับลักษณะ ปรากฏ ขันได้แก่ สีของผลิตภัณฑ์เต้าหู้ปลามากที่สุด โดยผู้บริโภคส่วนใหญ่ จะมีเลือกรับประทานผลิตภัณฑ์เต้าหู้ปลาสีเข้มกว่าก่อน 68.29, 53.57 เบอร์เซ็นต์ สำหรับการทดสอบครั้งที่ 1 และครั้งที่ 2 ตามลำดับ

9.2 การยอมรับของผู้บริโภคต่อผลิตภัณฑ์เต้าหู้ปลาที่ทดสอบภายใต้สภาวะสุญญาการ

ผลการทดสอบความชอบผลิตภัณฑ์เต้าหู้ปลาที่ทดสอบภายใต้สภาวะสุญญาการเปรียบเทียบกับการทดสอบภายใต้สภาวะบรรยายการ โดยวิธี Face Scale Test จำนวน 2 ครั้ง ดังแสดงในภาพประกอบ 3-40 และภาพประกอบ 3-41 พบว่า สี (Color) รสชาติ (Taste) เนื้อสัมผัส (Texture) ปริมาณน้ำมัน (Oil Content) และความชอบรวม (Acceptability) ของผลิตภัณฑ์เต้าหู้ปลาที่ทดสอบภายใต้สภาวะบรรยายการมีความชอบสูงกว่าของผลิตภัณฑ์เต้าหู้ปลาที่ทดสอบภายใต้สภาวะสุญญาการ หากแต่ค่าเฉลี่ยต่าง ๆ ของผลิตภัณฑ์เต้าหู้ปลาที่ทดสอบภายใต้สภาวะสุญญาการ อันได้แก่ ค่าสี รสชาติ เนื้อสัมผัส ปริมาณน้ำมัน และความชอบรวมในการทดสอบครั้งที่ 2 นั้นมีค่าเพิ่มขึ้นจากการทดสอบในครั้งแรก ใน การทดสอบครั้งที่ 2 ความชอบรวมของผลิตภัณฑ์เต้าหู้ปลาที่ทดสอบภายใต้สภาวะบรรยายการและสุญญาการมีค่าใกล้เคียงกันมากกว่าค่าความชอบรวมของผลิตภัณฑ์ทั้งสองในการทดสอบครั้งแรก โดยมีค่าเฉลี่ยของ สี รสชาติ เนื้อสัมผัส ปริมาณน้ำมัน และความชอบรวม ในการทดสอบครั้งที่ 1 และครั้งที่ 2 ดังแสดงในตารางที่ 3-9



ภาพประกอบ 3-40 กราฟแสดงผลการทดสอบชิม ครั้งที่ 1



ภาพประกอบ 3-41 กราฟแสดงผลการทดสอบสูบบุหรี่ ครั้งที่ 2

ตารางที่ 3-9 ตารางแสดงค่าเฉลี่ยเบริกเกียบเทียบการทดสอบอุปचัม ครั้งที่ 1 และครั้งที่ 2

Average	Color		Taste		Texture		Oil Content		Acceptability	
	atm	vac	atm	vac	atm	vac	atm	vac	atm	vac
Test 1st	6.02	4.22	5.90	4.66	5.80	4.34	4.93	4.44	5.78	4.54
Test 2 nd	6.04	4.79	5.36	5.04	5.64	5.29	5.11	4.46	5.64	5.04

เมื่อพิจารณาความถี่ของแต่ละปัจจัย พบว่า สีของผลิตภัณฑ์ที่ทดสอบภายใต้สภาวะสุญญากาศมีค่าต่ำกว่าสีของผลิตภัณฑ์ที่ทดสอบภายใต้สภาวะบรรยายกาศมากจากการทดสอบครั้งที่ 2 แม้ว่าในการทดสอบครั้งที่ 2 ค่าเฉลี่ยสีของผลิตภัณฑ์ที่ทดสอบภายใต้สภาวะสุญญากาศจะมีการปรับตัวสูงขึ้นก็ตาม โดยความถี่ส่วนใหญ่ของผลิตภัณฑ์ที่ทดสอบภายใต้สภาวะสุญญากาศอยู่ในระดับขอบน้อยถึงขอบปานกลาง ในขณะที่ผลิตภัณฑ์ที่ทดสอบภายใต้สภาวะบรรยายกาศอยู่ในระดับขอบมากถึงขอบมากที่สุด ส่วนปัจจัยด้านความชอบรวมสำหรับผลิตภัณฑ์ที่ทดสอบภายใต้สภาวะสุญญากาศและผลิตภัณฑ์ที่ทดสอบภายใต้สภาวะบรรยายกาศนั้น อยู่ในระดับใกล้เคียงกัน คือ อยู่ในระดับขอบปานกลางถึงขอบมากสำหรับผลิตภัณฑ์ที่ทดสอบภายใต้สภาวะบรรยายกาศทั้ง 2 ครั้ง อยู่ในระดับขอบน้อยถึงขอบปานกลาง และขอบปานกลางถึงขอบมากสำหรับผลิตภัณฑ์ที่ทดสอบภายใต้

สภาวะสุขภาพในขณะที่ค่าปัจจัยปริมาณน้ำมันของผลิตภัณฑ์ที่ทดสอบได้สภาวะสุขภาพทั้งสองครั้งยังคงอยู่ในระดับขอบน้อยถึงขอบปานกลางทั้งสองครั้งการทดสอบ ต่างจากผลิตภัณฑ์ที่ทดสอบภายใต้สภาวะบรรยายกาศที่มีการปรับตัวสูงขึ้นจากการลดขอบปานกลางในการทดสอบครั้งที่ 1 เป็นขอบปานกลางถึงขอบมากในครั้งที่ 2 สำหรับค่าปัจจัยรสชาติและเนื้อสัมผัสของผลิตภัณฑ์ที่ทดสอบภายใต้สภาวะสุขภาพมีการปรับตัวสูงขึ้นจากการลดขอบปานกลางในการทดสอบครั้งที่ 1 เป็นขอบปานกลางถึงขอบมากในการทดสอบครั้งที่ 2 เช่นเดียวกัน ในขณะที่ค่าปัจจัยรสชาติ และเนื้อสัมผัสของผลิตภัณฑ์ที่ทดสอบภายใต้สภาวะบรรยายกาศนั้นอยู่ในระดับความชอบปานกลางถึงขอบมากทั้ง 2 ครั้ง ของการทดสอบ

จากการทดลองพบว่าปัจจัยสีน้ำจะมีผลต่อปัจจัยด้านเดื่อน ได้แก่ รสชาติ เนื้อสัมผัส ปริมาณน้ำมันและความชอบรวม ดังนั้นการปรับปรุงคุณภาพด้านสีของผลิตภัณฑ์ที่ทดสอบภายใต้สภาวะสุขภาพกานน่าจะมีผลทำให้ค่าความชอบรวมและค่าปัจจัยอื่นเพิ่มขึ้นไปด้วย การอบรมหรือการนิ่งช้าภายในหลังการทดสอบอาจเป็นปัจจัยหนึ่งซึ่งทำให้สีของผลิตภัณฑ์เต้าหู้ปลาเข้มขึ้น เนื่องด้วยในกระบวนการของโรงงานมีการนิ่งผลิตภัณฑ์เต้าหู้ปลาช้าๆ ก่อนครั้งภายในหลังการทดสอบแล้ว วิธีการดังกล่าวจึงอาจนำมาใช้เพิ่มความเข้มสีของผลิตภัณฑ์เต้าหู้ปลาที่ทดสอบภายใต้สภาวะสุขภาพได้ และเป็นการพัฒนาคุณภาพของผลิตภัณฑ์ให้มีค่าความชอบเพิ่มสูงขึ้นได้อีกด้วย